



67897

รายงานการวิจัย

แบบจำลองอบแห้งชั้นบางที่เหมาะสมสำหรับการอบแห้งยางพาราแผ่น

Thin- Layer Drying Models Appropriate for Drying

Para Rubber Sheet

วสันต์ จีนชาดา	Wasan Jeentada	633.89
ประเสริฐ คงบุญ	Pornprasit Kongboon	7358 2555
สิติพร บุญญาณุวัตร	Sittiporn Boonyanuwat	
เฉลิม ศิริรักษ์	Chalerm Sirirak	70000>

สาขาวิศวกรรมเครื่องกล คณะวิศวกรรมศาสตร์

มหาวิทยาลัยเทคโนโลยีราชมงคลศรีวิชัย

ได้รับการสนับสนุนทุนวิจัยจากมหาวิทยาลัยเทคโนโลยีราชมงคลศรีวิชัย

งบประมาณเงินรายได้ ประจำปี พ.ศ. 2555

กิตติกรรมประกาศ

รายงานวิจัยฉบับนี้ได้รับทุนสนับสนุนการวิจัยจากคณะกรรมการศาสตร์ มหาวิทยาลัยเทคโนโลยีราชมงคลรัชชบุรี งบประมาณเงินรายได้ประจำปี 2555 และความอนุเคราะห์จากสหกรณ์ส่วนบุคคลพิจิตรจำกัด ตำบลพิจิตร อำเภอหาหม่อม จังหวัดสงขลา ผู้วิจัยจึงขอขอบพระคุณเป็นอย่างสูงต่อการสนับสนุนโครงการวิจัยเรื่องแบบจำลองอบแห้งชั้นบางที่เหมาะสมสำหรับการอบแห้งยางพาราแห่น จากคณะกรรมการศาสตร์ มหาวิทยาลัยเทคโนโลยีราชมงคลรัชชบุรี พิจิตรจำกัด ตำบลพิจิตร อำเภอหาหม่อม จังหวัดสงขลา มา ณ ที่นี่

คณะกรรมการ
ผู้วิจัย
มีนาคม 2556

แบบจำลองอบแห้งชั้นบางที่เหมาะสมสำหรับการอบแห้งยางพาราแผ่น

วสันต์ จินชาดา พรประสิทธิ์ คงบุญ สิทธิพร บุญญาณุวัตร และ เนลิม ศิริรักษ์

บทคัดย่อ

งานวิจัยนี้เป็นการศึกษาการอบแห้งยางพาราแผ่นที่สภาวะอุณหภูมิอากาศ 40, 50, 60 และ 70°C ความเร็วอากาศ 0.5 และ 1 เมตร/วินาที โดยการนำผลการทดลองมาหาค่าอัตราส่วนความชื้นและนำแบบจำลองอบแห้งชั้นบาง 10 แบบที่แตกต่างกันมาเปรียบเทียบกับผลการทดลองจากผลการทดลองหาค่าอัตราส่วนความชื้นของยางพาราแผ่นพบว่าที่สภาวะความเร็วการไหลดอากาศเท่ากันแต่ อุณหภูมิต่างกันเมื่ออุณหภูมิสูงขึ้นความชื้นในยางพาราจะระเหยออกได้เร็วกว่าที่อุณหภูมิต่ำ ส่วนที่ สภาวะอุณหภูมิเท่ากันแต่ความเร็วการไหลดของอากาศต่างกันเมื่อความเร็วการไหลดอากาศสูงขึ้นทำให้ความชื้นในยางพาราระเหยออกได้เร็วกว่าที่ความเร็วต่ำเนื่องจากเกิดการพาความชื้นออกจากการไหอบแห้ง ได้เร็วกว่า การเปรียบเทียบแบบจำลองอบแห้งชั้นบางพบว่ามีแบบจำลอง 5 แบบที่ทำนายค่าอัตราส่วนความชื้นของการอบแห้งยางพาราแผ่นได้ดีคือแบบจำลองของ Modified Henderson and Pabis, Verma et al., Midilli et al., Weibull Distribution และ Page ตามลำดับ จะมีค่า R^2 อยู่ในช่วง 0.984-0.9992 ส่วนแบบจำลองอบแห้งชั้นบางที่ทำนายค่าอัตราส่วนความชื้นได้ดีในทุกสภาวะของ การทดลองคือแบบจำลองของ Modified Henderson and Pabis มีค่า R^2 อยู่ในช่วง 0.9956-0.9992 ซึ่ง มีค่า R^2 สูงกว่าแบบจำลองอบแห้งชั้นบางแบบอื่นๆ

คำสำคัญ: อบแห้ง แบบจำลอง อัตราส่วนความชื้น ยางพารา

Thin- Layer Drying Models Appropriate for Drying Para Rubber Sheet

Wasan Jeentada Pornprasit Kongboon Sittiporn Boonyanuwat and Chalerm Sirirak

ABSTRACT

The purpose of this project was to study para rubber sheet drying at temperature of 40°, 50°, 60° and 70°, air velocity of 0.5 and 1 meter/second. The obtained experimental results were used to calculate moisture ratio values. Then the results obtained from 10 different types of thin layer drying models were compared with the experimental results. The experimental results of moisture ratio values of para rubber sheets indicated that at the same air flow rate but with different temperature, the higher the temperature, the faster of the moisture evaporation of para rubber sheet. Whereas, with same temperature but at the different air flow rates, the higher of air flow rate, the faster moisture evaporation of para rubber sheet due to the faster rate of moisture diffusion out of a drying chamber. The results obtained from the 10 different types of thin layer drying models revealed that 5 models could predict the moisture ratio of para rubber sheet drying with a satisfactory level. The 5 models rated with the valid levels with R^2 ranges of 0.984 - 0.9992 were Modified Henderson and Pabis, Verma et al., Midilli et al., Weibull Distribution; and Page respectively. The type of thin layer drying model that could predict moisture ratio with a satisfactory level in all experimental conditions was Modified Henderson and Pabis. Its R^2 ranges were from 0.9956 to 0.9992, which was higher than those of the other models.

Keywords: Drying, Model, Moisture ratio, para rubber sheet

สารบัญ

	หน้า
กิตติกรรมประกาศ	ก
บทคัดย่อ	ข
Abstract	ค
สารบัญ	ง
สารบัญตาราง	จ
สารบัญรูป	ฉ
บทที่ 1 บทนำ	1
1.1 ความสำคัญและที่มาของปัญหา	1
1.2 วัตถุประสงค์	2
1.3 ขอบเขตของโครงการ	2
1.4 ประโยชน์ที่คาดว่าจะได้รับ	2
บทที่ 2 งานวิจัยและทฤษฎีที่เกี่ยวข้อง	3
2.1 งานวิจัยที่เกี่ยวข้อง	3
2.2 ทฤษฎีที่เกี่ยวข้อง	10
บทที่ 3 วิธีการดำเนินงาน	14
3.1 แผนการดำเนินงาน	14
3.2 วัสดุ เครื่องมือและอุปกรณ์	17
3.3 วิธีการทดลอง	19
บทที่ 4 ผลการวิจัยและการวิเคราะห์	21
4.1 ผลการทดลองหาค่าอัตราส่วนความชื้น	21
บทที่ 5 สรุป	37
5.1 สรุปผลการทดลอง	37
เอกสารอ้างอิง	38
ภาคผนวก	40
ภาคผนวก ก ผลการทดลอง	41
ภาคผนวก ข ค่าคงที่แบบจำลองอบแห้งชั้นบาง	52

สารบัญตาราง

ตารางที่	หน้า
2.1 รูปแบบของแบบจำลองอนแห่งชั้นบาง	7
3.1 แผนการดำเนินงาน	16

สารบัญรูป

รูปที่	หน้า
2.1 ความสัมพันธ์ระหว่างอัตราส่วนค่าความชื้นกับเวลา	11
2.2 ความสัมพันธ์ระหว่างอัตราการอบแห้งกับอัตราส่วนค่าความชื้น	12
3.1 ลำดับวิธีการดำเนินงาน	15
3.2 ยางพาราแผ่น	17
3.3 ตู้อบความคุณภาพ	17
3.4 ตู้อบความคุณอุณหภูมิ ยี่ห้อ BINDER	18
3.5 เครื่องซั่งน้ำหนัก ยี่ห้อ SARTORIUS รุ่น MIRAS	18
3.6 ชั่งมวลยางพาราแผ่น	19
3.7 ยางพาราแผ่นก่อนการอบแห้ง	19
3.8 ยางพาราแผ่นหลังการอบแห้ง	20
3.9 อบแห้งเพื่อหามวลแห้งยางพาราแผ่น	20
4.1 อัตราส่วนความชื้นที่อุณหภูมิต่างๆ ความเร็วอากาศ 0.5 เมตร/วินาที	21
4.2 อัตราส่วนความชื้นที่อุณหภูมิต่างๆ ความเร็วอากาศ 1 เมตร/วินาที	22
4.3 อัตราส่วนความชื้นที่อุณหภูมิต่างๆ ความเร็วอากาศ 0.5 และ 1 เมตร/วินาที	22
4.4 เปรียบเทียบแบบจำลองอบแห้งชั้นบางกับผลการทดลอง (ความเร็วอากาศ 0.5 m/s อุณหภูมิ 40 °C)	24
4.5 เปรียบเทียบแบบจำลองอบแห้งชั้นบางกับผลการทดลอง (ความเร็วอากาศ 0.5 m/s อุณหภูมิ 50 °C)	24
4.6 เปรียบเทียบแบบจำลองอบแห้งชั้นบางกับผลการทดลอง (ความเร็วอากาศ 0.5 m/s อุณหภูมิ 60 °C)	25
4.7 เปรียบเทียบแบบจำลองอบแห้งชั้นบางกับผลการทดลอง (ความเร็วอากาศ 0.5 m/s อุณหภูมิ 70 °C)	25
4.8 เปรียบเทียบแบบจำลองอบแห้งชั้นบางกับผลการทดลอง (ความเร็วอากาศ 1 m/s อุณหภูมิ 40 °C)	26
4.9 เปรียบเทียบแบบจำลองอบแห้งชั้นบางกับผลการทดลอง (ความเร็วอากาศ 1 m/s อุณหภูมิ 50 °C)	26

สารบัญรูป (ต่อ)

รูปที่	หน้า
4.10 เปรียบเทียบแบบจำลองอนแห่งชั้นบางกับผลการทดลอง (ความเร็วอากาศ 1 m/s อุณหภูมิ 60 °C)	27
4.11 เปรียบเทียบแบบจำลองอนแห่งชั้นบางกับผลการทดลอง (ความเร็วอากาศ 1 m/s อุณหภูมิ 70 °C)	27
4.12 เปรียบเทียบผลการทดลองกับแบบจำลอง Modified Henderson and Pabis, Verma et al., Midilli et al., Weibull Distribution และ Page (ความเร็วอากาศ 0.5 m/s อุณหภูมิ 40 °C)	28
4.13 เปรียบเทียบผลการทดลองกับแบบจำลอง Modified Henderson and Pabis, Verma et al., Midilli et al., Weibull Distribution และ Page (ความเร็วอากาศ 0.5 m/s อุณหภูมิ 50 °C)	28
4.14 เปรียบเทียบผลการทดลองกับแบบจำลอง Modified Henderson and Pabis, Verma et al., Midilli et al., Weibull Distribution และ Page (ความเร็วอากาศ 0.5 m/s อุณหภูมิ 60 °C)	29
4.15 เปรียบเทียบผลการทดลองกับแบบจำลอง Modified Henderson and Pabis, Verma et al., Midilli et al., Weibull Distribution และ Page (ความเร็วอากาศ 0.5 m/s อุณหภูมิ 70 °C)	29
4.16 เปรียบเทียบผลการทดลองกับแบบจำลอง Modified Henderson and Pabis, Verma et al., Midilli et al., Weibull Distribution และ Page (ความเร็วอากาศ 1 m/s อุณหภูมิ 40 °C)	30
4.17 เปรียบเทียบผลการทดลองกับแบบจำลอง Modified Henderson and Pabis, Verma et al., Midilli et al., Weibull Distribution และ Page (ความเร็วอากาศ 1 m/s อุณหภูมิ 50 °C)	30
4.18 เปรียบเทียบผลการทดลองกับแบบจำลอง Modified Henderson and Pabis, Verma et al., Midilli et al., Weibull Distribution และ Page (ความเร็วอากาศ 1 m/s อุณหภูมิ 60 °C)	31

สารบัญรูป (ต่อ)

รูปที่		หน้า
4.19	เปรียบเทียบผลการทดลองกับแบบจำลอง Modified Henderson and Pabis, Verma et al., Midilli et al., Weibull Distribution และ Page (ความเร็วอากาศ 1 m/s อุณหภูมิ 70 °C)	31
4.20	เปรียบเทียบผลการทดลองกับแบบจำลอง Modified Henderson and Pabis (ความเร็วอากาศ 0.5 m/s อุณหภูมิ 40 °C)	32
4.21	เปรียบเทียบผลการทดลองกับแบบจำลอง Modified Henderson and Pabis (ความเร็วอากาศ 0.5 m/s อุณหภูมิ 50 °C)	32
4.22	เปรียบเทียบผลการทดลองกับแบบจำลอง Modified Henderson and Pabis (ความเร็วอากาศ 0.5 m/s อุณหภูมิ 60 °C)	33
4.23	เปรียบเทียบผลการทดลองกับแบบจำลอง Modified Henderson and Pabis (ความเร็วอากาศ 0.5 m/s อุณหภูมิ 70 °C)	33
4.24	เปรียบเทียบผลการทดลองกับแบบจำลอง Modified Henderson and Pabis (ความเร็วอากาศ 1 m/s อุณหภูมิ 40 °C)	34
4.25	เปรียบเทียบผลการทดลองกับแบบจำลอง Modified Henderson and Pabis (ความเร็วอากาศ 1 m/s อุณหภูมิ 50 °C)	34
4.26	เปรียบเทียบผลการทดลองกับแบบจำลอง Modified Henderson and Pabis (ความเร็วอากาศ 1 m/s อุณหภูมิ 60 °C)	35
4.27	เปรียบเทียบผลการทดลองกับแบบจำลอง Modified Henderson and Pabis (ความเร็วอากาศ 1 m/s อุณหภูมิ 70 °C)	35
4.28	เปรียบเทียบผลการทดลองกับแบบจำลอง Modified Henderson and Pabis (ความเร็วอากาศ 0.5 m/s)	36
4.29	เปรียบเทียบผลการทดลองกับแบบจำลอง Modified Henderson and Pabis (ความเร็วอากาศ 1 m/s)	36

บทที่ 1

บทนำ

1.1 ความสำคัญและที่มาของปัญหา

ยางเป็นพืชเศรษฐกิจของประเทศไทยปลูกกันอย่างแพร่หลายในภาคใต้ของประเทศไทย โดยน้ำยางของยางพาราจะถูกเปลี่ยนเป็นผลิตภัณฑ์ยางธรรมชาติ ซึ่งตั้งแต่ปีพุทธศักราช 2534 ประเทศไทยเป็นผู้ผลิตยางธรรมชาติอันดับหนึ่งของโลก (Chaiprapat and Sdoodee,2007) ภาคใต้มีพื้นที่ปลูกยางมากที่สุด รองลงมาเป็นภาคตะวันออกเฉียงเหนือ ภาคตะวันออกเฉียงกลางและภาคเหนือตามลำดับ การส่งออกยางธรรมชาติของไทยส่วนใหญ่จะส่งออกไปยังประเทศญี่ปุ่น ได้แก่ ยางแท่ง ยางแผ่นร่มควัน น้ำยางข้นและยางชนิดอื่น เมื่อพิจารณาของยางที่ใช้ในประเทศไทย พบร้า เป็นยางแผ่นร่มควันมากที่สุด รองลงมาเป็นน้ำยางข้น ยางแท่ง เอสทีอาร์ และยางแผ่นผึ้งแห้ง ตามลำดับ (สถาบันวิจัยยาง กรมวิชาการเกษตร กระทรวงเกษตรและสหกรณ์,2553) การผลิตยางพาราแผ่นในประเทศไทยจะผลิตจากเกษตรกรโดยโรงรับจำนำยางแผ่นของสหกรณ์กองทุนสวนยางขนาดเล็กจำนวนมาก ประเทศไทยมีโรงรับจำนำยางแผ่นของสหกรณ์กองทุนสวนยางมากกว่า 700 แห่ง(Chaiprapat and Sdoodee, 2007) การรับจำนำยางพาราแผ่นเป็นกระบวนการอุปโภค์ ไล่ ความชื้นออกโดยการระเหยน้ำออกจากวัสดุซึ่งจะต้องใช้พลังงานความร้อนในกระบวนการอุปโภค์ โรงรับจำนำยางพาราแผ่นจึงต้องถูกออกแบบให้เหมาะสมกับการรับจำนำเพื่อทำให้เกิดการประยุคพลังงานและได้ผลิตภัณฑ์ยางพาราแผ่นร่มควันที่มีคุณภาพเพื่อความเข้าใจในกระบวนการอุปโภค์ของยางพาราแผ่นจึงจำเป็นที่ต้องรู้ถึงลักษณะเฉพาะของการอุปโภค์ของยางพาราแผ่นจึงได้ผู้คิดค้นแบบจำลองอุปโภค์ชั้นบางมาทำนายกระบวนการอุปโภค์ พารามิเตอร์ทั้งหมดที่ใช้ในแบบจำลองจะเกี่ยวข้องโดยตรงกับสภาพของการอุปโภค์และระยะเวลาในการอุปโภค์ดังนั้น แบบจำลองอุปโภค์ชั้นบางนี้สามารถใช้ประโยชน์ในการออกแบบโรงรับจำนำยางพาราแผ่นได้

งานวิจัยนี้ทำการศึกษาการอุปโภค์ของยางพาราแผ่นที่สภาวะต่างๆ แล้วใช้แบบจำลองอุปโภค์ ชั้นบางที่แตกต่างกันมาเปรียบเทียบกับผลการทดลองเพื่อหาแบบจำลองอุปโภค์ชั้นบางที่เหมาะสม ในการทำนายการอุปโภค์ของยางพาราแผ่นเพื่อประโยชน์ในการออกแบบโรงรับจำนำยางพาราแผ่นจากกระบวนการอุปโภค์ของยางพาราแผ่นและสามารถนำไปใช้ในการจำลองการอุปโภค์ของยางพาราแผ่นด้วยวิธีการคำนวณเชิงพลศาสตร์ของไอล

1.2 วัตถุประสงค์

- เพื่อหาแบบจำลองอบแห้งชั้นบางที่เหมาะสมสำหรับการอบแห้งยางพาราแผ่น
- เพื่อศึกษาอิทธิพลของอุณหภูมิอากาศและความเร็วอากาศที่มีผลต่ออัตราการอบแห้ง

1.3 ขอบเขตของการทดลอง

อบแห้งยางพาราแผ่นที่อุณหภูมิของอากาศ 40, 50, 60 และ 70°C ความเร็วอากาศ 0.5 และ 1 เมตร/วินาที

1.4 ประโยชน์ที่คาดว่าจะได้รับ

- ได้แบบจำลองอบแห้งชั้นบางที่เหมาะสมสำหรับการอบแห้งยางพาราแผ่น
- นำแบบจำลองอบแห้งชั้นบางไปใช้ในการออกแบบ โรงงานยางพาราแผ่นและเครื่องอบแห้งยางพาราแผ่นได้
- ใช้ในการจำลองการอบแห้งยางพาราแผ่นด้วยวิธีการคำนวณเชิงพลศาสตร์ของไอล

บทที่ 2

งานวิจัยและทฤษฎีที่เกี่ยวข้อง

2.1 งานวิจัยที่เกี่ยวข้อง

Babalis et al. (2006) ศึกษาแบบจำลองทางคณิตศาสตร์ในการอุบแห้งชั้นบางของมะเดื่อโดยใช้เครื่องอบแห้งในห้องปฏิบัติการทำกรดคล่องที่อุณหภูมิ 55, 65, 75 และ 85°C ความเร็วของอากาศ 0.5, 1.0, 2.0 และ 3 เมตร/วินาทีแล้วนำข้อมูลที่ได้จากการทดลองมาเปรียบเทียบกับแบบจำลองการอุบแห้งชั้นบาง 10 รูปแบบคือ Lewis, Henderson and Pabis, Logarithmic, Two term exponential, Page, Modified Page, Overhults, Weibull distribution, Wang and Singh และ Thompson จากการทดลองพบว่าแบบจำลองของ Two term exponential สามารถทำนายการอุบแห้งของมะเดื่อได้ดีที่สุด

Janjai et al. (2010) ทำการอุบแห้งชั้นบางของลินีจีปอกเปลือก ทดลองที่อุณหภูมิ 50, 60, และ 70°C ที่ความเร็วของอากาศ 1.5 เมตร/วินาทีและใช้แบบจำลองทางคณิตศาสตร์ของการอุบแห้งชั้นบาง 8 รูปแบบ คือ Newton, Page, Modified Page, Henderson and Pabis, Logarithmic, Wang and Singh, Two term exponential และ Modified Henderson and Pabis เพื่อใช้อธิบายผลการทดลองอบแห้งลินีจีปอกเปลือก จากผลการเปรียบเทียบพบว่า แบบจำลองของ Page สามารถอธิบายการอุบแห้งของลินีจีได้ดีที่สุด ตามนาด้วยแบบจำลองของ Logarithmic และพบว่าเมื่ออุณหภูมิในการอุบแห้งเพิ่มขึ้นทำให้เวลาในการอุบแห้งลดลง

Akpinar et al. (2006) ศึกษาลักษณะการอุบแห้งของใบผักชีฝรั่งด้วยเครื่องอบแห้งพากวนร้อนแบบบังคับ กำหนดอุณหภูมิการอุบแห้ง 56, 67, 85 และ 93°C ความเร็วของอากาศคงที่ 1.0 เมตร/วินาที และอบแห้งด้วยวิธีการพากวนร้อนแบบธรรมชาติโดยการอุบแห้งในบรรยากาศใช้ความร้อนจากแสงอาทิตย์ในช่วงเวลา 10.30-17.30 น ข้อมูลที่ได้จากการทดลองจะนำมาเปรียบเทียบกับแบบจำลองทางคณิตศาสตร์ที่แตกต่างกันดังนี้ Newton, Page, Modified Page (I), Modified Page (II), Henderson and Pabis, Logarithmic, Two-term exponential, Wang and Singh และ Verma et al. ผลการเปรียบเทียบพบว่า แบบจำลองของ Page สามารถทำนายการอุบแห้งของใบผักชีฝรั่งด้วยเครื่องอบแห้งพากวนร้อนแบบบังคับได้ดีกว่าแบบจำลองอื่นๆ ส่วนแบบจำลองของ Verma et al. จะทำนายการอุบแห้งของใบผักชีฝรั่งด้วยวิธีการพากวนร้อนแบบธรรมชาติได้ดีกว่าแบบจำลองอื่นๆ

Wang et al. (2007) ศึกษาลักษณะการอบแห้งชั้นบางของการแปรเป็นปีล ใช้เครื่องอบแห้งในห้องปฏิบัติการ ทดลองอบแห้งที่อุณหภูมิ 75, 85, 95 และ 105°C ความเร็วของอากาศ 1.2 ± 0.03 เมตร/วินาทีก้าวเฉลี่ยความหนา 10 mm จากนั้นใช้แบบจำลองคณิตศาสตร์การอบแห้งชั้นบาง ทำนายพฤติกรรมในการอบแห้งก้าวเฉลี่ยโดยใช้แบบจำลองของ Lewis, Page, Modified Page, Henderson and Pabis, Logarithmic, Two-term exponential, Approximation of diffusion, Wang and Singh, Simplified Fick's diffusion และ Modified Page equation-II ผลการทดลองพบว่า แบบจำลองของ Logarithmic ทำนายการถ่ายเทความชื้นได้ดีกว่าแบบจำลองอื่นๆ และความสัมพันธ์ของอัตราส่วนความชื้นกับระยะเวลาการอบแห้งชั้นบางแบบพารามิเตอร์ร้อนของการแปรเป็นปีลนี้ สามารถนำไปใช้ในการออกแบบและปฏิบัติงานในการอบแห้งแบบพารามิเตอร์ร้อนของการแปรเป็นปีลได้

Menges and Ertekin (2006) ศึกษาระบวนการอบแห้งชั้นบางและอัตราส่วนความชื้น (moisture ratio) ของแปรเป็นปีลโกลเด้น (Golden apples) ใช้เครื่องอบแห้งในห้องปฏิบัติการทดลอง อบแห้งที่อุณหภูมิ 60, 70 และ 80°C ความเร็วของอากาศ 1.0, 2.0 และ 3.0 เมตร/วินาทีจากนั้นนำแบบจำลองทางคณิตศาสตร์ของการอบแห้งชั้นบางทำนายระบบนการอบแห้งของแปรเป็นปีลโกลเด้น โดยใช้แบบจำลอง Newton, Page, Modified Page 1, Modified Page 2, Henderson vePapis, Logarithmic, Two-term exponential, Wang and Sing, Thompson, Diffision approximation, Verma et al., Modified Henderson and Papis, Midilli et al. ผลการทดลองพบว่าแบบจำลองของ Midilli et al. เป็นแบบจำลองการอบแห้งชั้นบางที่เหมาะสมต่อการอธิบายพฤติกรรมการอบแห้งของแปรเป็นปีลโกลเด้นและแบบจำลองทางคณิตศาสตร์ของการอบแห้งนี้สามารถนำไปใช้ในการทำนายความชื้นของผลิตภัณฑ์ได้

Ertekin and Yaldiz (2004) ศึกษาพฤติกรรมการอบแห้งชั้นบางของมะเขือยาว (eggplant) ด้วยเครื่องอบแห้งในห้องปฏิบัติการทำการอบแห้งที่อุณหภูมิ 30, 40, 50, 60 และ 70°C ความเร็วของอากาศ 0.5, 1.0 และ 2.0 เมตร/วินาทีมะเขือยาวมีความหนา 0.635, 1.27 และ 2.54 cm ข้อมูลที่ได้จากการทดลองจะนำมาเปรียบเทียบกับแบบจำลองทางคณิตศาสตร์ของการอบแห้งชั้นบางที่แตกต่างกันดังนี้ Newton, Page, Modified Page, Henderson and Pabis, Logaritmic, Two-term exponential, Wang and Singh, Thompson, Diffusion approximation, Verma et al., Modified Henderson and Pabis, Midilli et al. จากผลการทดลองพบว่าแบบจำลองการอบแห้งชั้นบางของ Midilli et al. สามารถทำนายการอบแห้งของมะเขือยาวได้ดีที่สุด เมื่อเพิ่มอุณหภูมิอากาศและความเร็วอากาศในการอบแห้งจะทำให้เวลาของการอบแห้งลดลง มะเขือยาวที่มีชั้นบางกว่าจะใช้

เวลาในการอบแห้งน้อยกว่า และเมื่อเพิ่มอุณหภูมิอากาศในการอบแห้งจะทำให้ความสว่างสีของมะเขือยาวลดลงส่วนความหนาของชั้นมะเขือยาวไม่ส่งผลกระทบต่อลักษณะของสีมะเขือยาว

Hacihaftoglu et al. (2008) ศึกษาความเหมาะสมของแบบจำลองทางคณิตศาสตร์ของการอบแห้งที่สามารถใช้ประโยชน์ได้ในการอธิบายลักษณะการอบแห้งชั้นบาง (thin-layer drying) ของข้าว โดยทำการทดลองอบแห้งข้าวที่อุณหภูมิ 40, 45, 50, 55 และ 60 °C ความเร็วของอากาศ 1.5 และ 3 เมตร/วินาที ใช้แบบจำลองทางคณิตศาสตร์ 12 รูปแบบ คือ Newton, Page, Modified Page, Henderson & Pabis, Geometric, Wang & Singh, Two term exponential, Logarithmic, Diffusion approach, Verma et al. และ Midilli et al. มาเปรียบเทียบกับผลการทดลองจากผลการเปรียบเทียบพบว่าแบบจำลองการอบแห้งของ Midilli et al. เป็นรูปแบบที่เหมาะสมที่สุดสำหรับทำนายพฤติกรรมการอบแห้งชั้นบางของข้าว

Doymaz (2006) ศึกษาพฤติกรรมการอบแห้งชั้นบางของใบสะระแหน่ ทำการทดลองอบแห้งที่อุณหภูมิ 35, 45, 55 และ 60 °C ที่ความเร็วอากาศ 4.1 เมตร/วินาทีทำการบันทึกค่าทุกๆ 15 นาที และใช้แบบจำลองทางคณิตศาสตร์ของการอบแห้งชั้นบางมาทำนายพฤติกรรมในการอบแห้งของใบสะระแหน่ที่ได้จากการทดลอง ซึ่งใช้แบบจำลองทางคณิตศาสตร์ของการอบแห้งชั้นบางดังนี้ Lewis, Henderson and Pabis, Page และ Logarithmic จากผลการทดลองพบว่า เมื่ออุณหภูมิอากาศในการอบแห้งทำให้เวลาในการอบแห้งลดลงและแบบจำลองของ Logarithmic สามารถทำนายการอบแห้งชั้นบางของใบสะระแหน่ได้ดีกว่าสมการอื่นๆ

Mazutti et al. (2010) ทำการทดลองอบแห้ง chan o'oy หมักกับ chan o'oy ไม่หมัก ทำการทดลองอบแห้ง chan o'oy ที่มีความหนาประมาณ 10 mm อบแห้งที่อุณหภูมิ 30, 35, 40 และ 45 °C ที่อัตราการไหลของอากาศเชิงปริมาตร 2 กับ 3 m^3/h และใช้แบบจำลองทางคณิตศาสตร์ของการอบแห้งชั้นบาง 10 รูปแบบ คือ Bruce, Menges and Ertekin, White et al., Henderson and Pabis, Henderson, Togrul and Pehlivan, Yaldiz et al., Midilli et al., Togrul and Pehlivan และ Wang et al. เพื่อใช้อธิบายผลการทดลองการอบแห้งชั้นบางของ chan o'oy จากผลการทดลองว่าแบบจำลองของ Two term exponential อธิบายการอบแห้งชั้นบางของ chan o'oy ได้เหมาะสมกว่าสมการอื่นๆ

Dejchanchaiwong et al. (2011) ทดลองอบแห้งยางพารา 3 วิธี 1. อบแห้งด้วยอากาศร้อนที่ อุณหภูมิ 45 และ 55 °C 2. อบแห้งด้วยโรงอบแห้งพลังงานแสงอาทิตย์ที่มีขนาด $1 \times 1.2 \times 1.5$ เมตร ใช้พลาสติกดำในการปิดกลุ่มตัวห้องและพลาสติกในปิดกลุ่มหลังค่า 3. อบแห้งด้วยการตากแดด โดยตรง จากนั้นนำแบบจำลองทางคณิตศาสตร์ของการอบแห้งชั้นบาง 12 แบบ คือ Page, Two term, exponential, Overhults, Approximation of diffusion, Verma et al., Midilli et al., Two term, Modified Henderson and Pabis, Modified Page, Weibull Distribution, C.L.Hii et al. และ Modified

Overhults มาเปรียบเทียบกับผลการทดลองเพื่อหาแบบจำลองทางคณิตศาสตร์ของการอบแห้งชั้นบางที่เหมาะสมสำหรับการอบแห้งยางพารา จากผลการเปรียบเทียบพบว่า แบบจำลองของ Weibull Distribution เหมาะสำหรับทำนายการอบแห้งยางพาราด้วยอากาศร้อนส่วนแบบจำลองของ Modified Henderson and Pabis เหมาะสำหรับทำนายการอบแห้งยางพาราด้วยโรงอบแห้งพลังงานแสงอาทิตย์และอบแห้งด้วยการตากแดดโดยตรง

กรรมวิธีการผลิตยางแผ่นร่มควันนี้จะควบคุมอุณหภูมิของอากาศให้มีค่าอยู่ที่ประมาณ $50 - 60^{\circ}\text{C}$ (สถาบันวิจัยยาง กรมวิชาการเกษตร กระทรวงเกษตรและสหกรณ์, 2553) ส่วนความเร็วของอากาศในห้องร่มควันยางแผ่นจะมีค่าอยู่ในช่วงประมาณ $0.05 - 0.5$ เมตรต่อวินาที (Tekasakul P. and Promtong M., 2008)

งานวิจัยนี้ทำการศึกษาแบบจำลองทางคณิตศาสตร์ของการอบแห้งชั้นบางที่เหมาะสมสำหรับการอบแห้งยางพาราแผ่น โดยใช้รูปแบบของแบบจำลองทางคณิตศาสตร์ของการอบแห้งชั้นบางที่แตกต่างกันคือ Newton, Page, Henderson and Pabis, Logarithmic, Weibull Distribution, Midilli et al., Verma et al., Two term exponential, Modified Henderson and Pabis และ Wang and Singh ดังแสดงในตารางที่ 2.1 การทดลองจะทำการอบแห้งยางพาราแผ่นที่อุณหภูมิของอากาศ 40 , 50 , 60 และ 70°C ความเร็วอากาศ 0.5 และ 1 เมตร/วินาที จากนั้นนำข้อมูลที่ได้จากการทดลองมาเปรียบเทียบกับรูปแบบของแบบจำลองทางคณิตศาสตร์ของการอบแห้งชั้นบางในการหารูปแบบของแบบจำลองทางคณิตศาสตร์ของการอบแห้งชั้นบางสำหรับการอบแห้งยางพาราแผ่นที่เหมาะสมเพื่อประโยชน์ในการออกแบบโรงร่มยางพาราแผ่นจากกระบวนการอบแห้งยางพาราแผ่นในแต่ละสภาพและสามารถนำไปใช้ในการจำลองการอบแห้งยางพาราแผ่นด้วยวิธีการคำนวนเชิงพลศาสตร์ของไอล

ตารางที่ 2.1 รูปแบบของแบบจำลองของแท่งชั้นบาง

ชื่อของแบบจำลอง	สมการของแบบจำลอง	อ้างอิง
Newton	$MR = \exp(-kt)$	Akpinar et al. (2006), Ertekin and Yaldiz (2004), Hacihaftoglu et al. (2008), Janjai et al. (2010), Menges and Ertekin (2006)
Page	$MR = \exp(-kt^n)$	Akpinar et al. (2006), Babalis et al. (2006), Doymaz (2006), Ertekin and Yaldiz (2004), Hacihaftoglu et al. (2008), Janjai et al. (2010), Menges and Ertekin (2006), Wang et al. (2007)
Henderson and Pabis	$MR = a \exp(-kt)$	Akpinar et al. (2006), Babalis et al. (2006), Doymaz (2006), Ertekin and Yaldiz (2004), Hacihaftoglu et al. (2008), Janjai et al. (2010), Mazutti et al. (2010), Menges and Ertekin (2006), Wang et al. (2007)

ตารางที่ 2.1 รูปแบบของแบบจำลองของแห้งชั้นบาง (ต่อ)

ชื่อของแบบจำลอง	สมการของแบบจำลอง	อ้างอิง
Logarithmic	$MR = a \exp(-kt) + b$	Akpinar et al. (2006), Babalis et al. (2006), Doymaz (2006), Ertekin and Yaldiz (2004), Hacihaftoglu et al. (2008), Janjai et al. (2010), Menges and Ertekin (2006), Wang et al. (2007)
Weibull Distribution	$MR = a - b \exp(-(kt^n))$	Babalis et al. (2006), Dejchanchaiwong et al. (2011)
Midilli et al.	$MR = a \exp(-kt^n) + bt$	Ertekin and Yaldiz (2004), Hacihaftoglu et al. (2008), Menges and Ertekin (2006)
Verma et al.	$MR = a \exp(-kt) + (1-a)\exp(-gt)$	Akpinar et al. (2006), Ertekin and Yaldiz (2004), Hacihaftoglu et al. (2008), Menges and Ertekin (2006)
Two term exponential	$MR = a \exp(-kt) + (1-a)\exp(-kat)$	Akpinar et al. (2006), Ertekin and Yaldiz (2004), Hacihaftoglu et al. (2008), Menges and Ertekin (2006)

ตารางที่ 2.1 รูปแบบของแบบจำลองอุบแห้งชั้นบาง (ต่อ)

ชื่อของแบบจำลอง	สมการของแบบจำลอง	อ้างอิง
Modified Henderson and Pabis	$MR = a \exp(-kt) + b \exp(-gt) + c \exp(-ht)$	Dejchanchaiwong et al. (2011), Ertekin and Yaldiz (2004), Janjai et al. (2010), Menges and Ertekin (2006), Togrul and Pehlivan (2004)
Wang and Singh	$MR = 1 + at + bt^2$	Akpinar et al. (2006), Babalis et al. (2006), Ertekin and Yaldiz (2004), Hacihaftoglu et al. (2008), Janjai et al. (2010), Menges and Ertekin (2006), Wang et al. (2007)

เมื่อ

MR

คือ อัตราส่วนความชื้น (no unit)

a, b, c, n, k, g, h

คือ ค่าคงที่ของการอบแห้ง (no unit)

t

คือ เวลาในการอบแห้ง (h)

2.1 ทฤษฎีเกี่ยวกับช่อง

กระบวนการอบแห้งจะใช้อากาศเป็นตัวกลางในการถ่ายเทความร้อนจากอากาศไปยังผลิตภัณฑ์และการถ่ายเทความชื้นจากผลิตภัณฑ์ไปยังอากาศ ความร้อนสัมผัสจากอากาศที่ผลิตภัณฑ์ได้รับส่วนใหญ่จะถูกใช้ในการระเหยน้ำจากผลิตภัณฑ์ ผลิตภัณฑ์จากสิ่งมีชีวิตส่วนใหญ่มีโครงสร้างภายในที่มีลักษณะเป็นรูพรุน เมื่อถูกทำให้แห้งในลักษณะของชั้นบางที่สภาวะอากาศคงที่ (อุณหภูมิความชื้นสัมพัทธ์ และความเร็วอากาศ) อัตราการระเหยของน้ำหรืออัตราการอบแห้งจะคงที่ในช่วงระยะเวลาหนึ่งหลังจากนั้นจะลดลงและอัตราการอบแห้งผลิตภัณฑ์หนึ่งๆ จะสัมพันธ์กับสภาวะอากาศอบแห้งในรูปสมการอบแห้งชั้นบาง

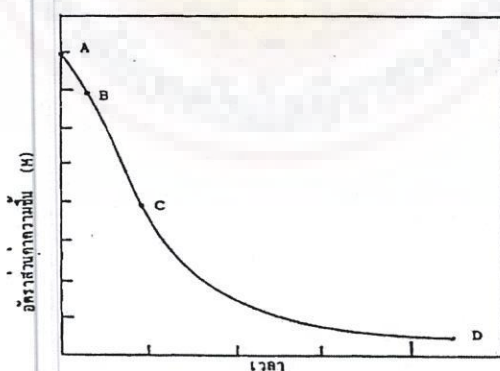
2.1.1 กลไกการอบแห้ง

โครงสร้างภายในผลิตภัณฑ์จากสิ่งมีชีวิต ส่วนใหญ่ประกอบด้วย ช่องว่างเป็นรูพรุนหรือหลอดเลือก การเคลื่อนที่ของความชื้นจากภายในจานเนื่องมาจากการแพร่ของของเหลวเนื่องจากความแตกต่างของความเข้มข้น การแพร่ของไอเนื่องจากความแตกต่างของความดันไออยู่ซึ่งเกิดจากความแตกต่างของอุณหภูมิ การเคลื่อนที่ของของเหลวนี้เนื่องจากแคปปิลารี (Capillarity) การไหลของไอหรือของเหลวนেื่องจากความแตกต่างของความดันรวม ซึ่งเกิดจากความดันภายนอก การหดตัว อุณหภูมิที่สูง และความเป็นแคปปิลารี (Capillarity) การเคลื่อนที่ของของเหลวนี้เนื่องจากการแพร่ของความชื้นบนผิวของรูพรุนเล็กๆ

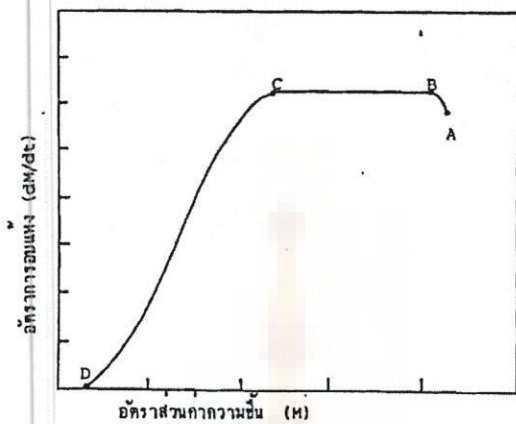
ทฤษฎีที่อธิบายเกี่ยวกับการอบแห้งจะอธิบายเกี่ยวกับกลไกการเคลื่อนที่ของความชื้นภายในผลิตภัณฑ์ ตัวอย่าง ทฤษฎีที่อธิบายการส่งผ่านความร้อนและความชื้นในผลิตภัณฑ์รูพรุนมี เช่น ทฤษฎีการแพร่ (Diffusion Theory) ทฤษฎีแคปปิลารี (Capillary Therory) ทฤษฎีการกลาญเป็นไอและการควบแน่น (Vaporization-Condensation Theory)

วิธีทดลองทางอัตราการอบแห้งโดยทั่วๆ ไปคือการติดตามการเปลี่ยนแปลงความชื้นในรูปของความชื้นหรือในรูปอัตราส่วนความชื้นเทียบกับเวลา ดังแสดงในรูป 2.1 เมื่อนำมาเขียนเป็นอัตราการอบแห้ง (dM/dt) จะได้ดังรูป 2.2 ซึ่งแสดงอัตราการอบแห้งจะพบว่าอัตราการอบแห้งจะแบ่งออกเป็น 3 ช่วง คือ ช่วง AB เป็นช่วงที่ผลิตภัณฑ์ได้รับความร้อนมีอุณหภูมิเพิ่มขึ้น อัตราการอบแห้งจะเพิ่มขึ้นจนถึงจุด B ช่วงที่สอง AB เป็นช่วงเด่นตรงซึ่งเป็นช่วงอัตราการอบแห้งคงที่ การอบแห้งช่วงนี้มักพบกับผลิตภัณฑ์ที่มีความชื้นเริ่มต้นสูง (มากกว่า 70-75 เปรอร์เซ็นต์) การเคลื่อนที่ของน้ำจากผิวน้ำผลิตภัณฑ์ไปยังอากาศจะเท่ากับการเคลื่อนที่ของความชื้นภายในผลิตภัณฑ์มายังผิวน้ำ การถ่ายเทความร้อนและมวลจะเกิดที่ผิวของผลิตภัณฑ์เท่านั้นเปรียบได้กับการระเหยของน้ำจากเทอร์โมมิเตอร์จะเปลี่ยนแปลงเป็นรูปแบบเดียวกัน ดังนั้นอุณหภูมิผิวน้ำของผลิตภัณฑ์จะเท่ากับอุณหภูมิจะเปลี่ยนแปลงของอากาศอบแห้ง อัตราการระเหยที่ผิวน้ำหาได้จากอัตราการแพร่ของความชื้น

ผ่านชั้นผิวของอากาศรอบๆ ผลิตภัณฑ์ซึ่งเป็นสัดส่วนกับผลต่างระหว่างความดันย่อของไอน้ำที่ผิว (อุณหภูมิกระเพาะเปียก) กับของอากาศรอบแห่ง อัตราอบแห้งช่วงนี้สามารถอธิบายได้ในรูป ความสัมพันธ์ของสัมประสิทธิ์การถ่ายเทmv และความร้อน พื้นที่ผิวสัมผัสอากาศและผลต่างของ อุณหภูมิเรียกว่าสมการการอบแห้งคงที่ จุด C เป็นจุดที่เปลี่ยนจากอัตราการอบแห้งคงที่เป็นช่วง อัตราการอบแห้งลดลง (CD) ความชื้นจุดนี้เรียกว่า ค่าความชื้นวิกฤต (Critical Moisture Content) ซึ่งจะขึ้นกับชนิดของผลิตภัณฑ์และสภาพในการอบแห้ง ในช่วงอัตราการอบแห้งลดลง(CD) ปริมาณความชื้นของผลิตภัณฑ์มีค่าต่ำกว่าปริมาณความชื้นวิกฤต อัตราการเคลื่อนที่ของความชื้น จากภายในผลิตภัณฑ์มายังผิวน้ำต่ำกว่าอัตราการระเหยของน้ำจากผิวน้ำสู่อากาศ น้ำจะเคลื่อนที่ จากภายในตัวผลิตภัณฑ์มาที่ผิวของผลิตภัณฑ์ในลักษณะของเหลวและ/หรือไอน้ำและจะถูก ควบคุมโดยการต้านทานต่อการเคลื่อนที่ของไไมเลกูลของน้ำในผลิตภัณฑ์ทำให้เกิดเกรเดียนท์ความ ชื้นและอุณหภูมิในผลิตภัณฑ์ อุณหภูมิของผลิตภัณฑ์มีค่าสูงกว่าอุณหภูมิกระเพาะเปียกของอากาศ การเคลื่อนที่ของน้ำในรูปของเหลวจะเกิดขึ้นในระบบแรกขณะที่ผลิตภัณฑ์ยังมีปริมาณความชื้นสูง เมื่อปริมาณความชื้นลดต่ำลงมากแล้วน้ำอาจเคลื่อนที่ในรูปของไอน้ำ และไไมเลกูลของน้ำที่เกะ กายในของผนังของช่องว่างมีความหนาเพียงสองสามไไมเลกูล ซึ่งอัตราการอบแห้งลดลงจะถูก ควบคุมด้วยตัวประปายในได้แก่ การเคลื่อนที่ของความชื้นภายในโครงสร้างผลิตภัณฑ์ เป็นต้น ความสัมพันธ์ของตัวแปรที่ใช้อธิบายอัตราการอบแห้งลดลงเรียกว่า สมการอัตราการอบแห้งลดลง อัตราอบแห้งจะเป็นศูนย์เมื่อผลิตภัณฑ์มีความชื้นที่ปริมาณความชื้นสมดุล (D) ซึ่งหมายความว่า ความดันไอน้ำของน้ำภายในผลิตภัณฑ์มีค่าเท่ากับความดันไอน้ำของอากาศที่สภาวะนั้นๆ ปกติแล้วที่ สภาวะอากาศหนึ่งๆ ค่าความชื้นวิกฤตและปริมาณความชื้นสมดุล ตลอดจนอัตราการอบแห้งจะเป็น ลักษณะเฉพาะของผลิตภัณฑ์แต่ละชนิด



รูปที่ 2.1 ความสัมพันธ์ระหว่างอัตราส่วนค่าความชื้นกับเวลา (รงไชย, 2530)



รูปที่ 2.2 ความสัมพันธ์ระหว่างอัตราการอบแห้งกับอัตราส่วนค่าความชื้น (งา ไชย, 2530)

2.1.2 ความชื้นในวัสดุ

ความชื้นเป็นตัวบวกปริมาณของน้ำที่มีอยู่ในวัสดุเมื่อเทียบกับมวลของวัสดุหรือวัสดุแห้ง การนองความชื้นในวัสดุมี 2 แบบ คือ ความชื้นมาตรฐานเปียกซึ่งเป็นสัดส่วนระหว่างน้ำหนักของน้ำต่อน้ำหนักร่วมของวัสดุดังแสดงในสมการที่ 2.1 ส่วนความชื้นมาตรฐานแห้งเป็นสัดส่วนระหว่างน้ำหนักน้ำต่อน้ำหนักแห้งของวัสดุดังสมการที่ 2.2

ความชื้นมาตรฐานเปียก

$$MC_{wb} = \left(\frac{m_w}{(m_w + m_d)} \right) \times 100\% = \left(\frac{(m_t - m_d)}{m_t} \right) \times 100\% \quad (2.1)$$

ความชื้นมาตรฐานแห้ง

$$MC_{db} = \left(\frac{m_w}{m_d} \right) \times 100\% = \left(\frac{(m_t - m_d)}{m_d} \right) \times 100\% \quad (2.2)$$

เมื่อ MC_{wb} คือ ความชื้นมาตรฐานเปียก (%)

MC_{db} คือ ความชื้นมาตรฐานแห้ง (%)

m_t คือ มวลของวัสดุที่เวลาใดๆ (kg)

m_w คือ มวลของน้ำในวัสดุ (kg)

m_d คือ มวลของวัสดุแห้ง (kg)

ความชี้แจงนี้แบบมาตรฐานแห่งนี้นิยมใช้ในการวิเคราะห์กระบวนการอุบัติเหตุทางทฤษฎี เพราะทำให้การคำนวณสัดส่วนของข้อเป็นเพรอมูลของวัสดุแห่งมีค่าคงที่ระหว่างการอุบัติเหตุ

2.1.3 สมการจันทร์ศาสตร์ของการอุบัติเหตุ

สมการจันทร์ศาสตร์ของการอุบัติเหตุที่นำมาใช้เพื่อการคำนวณการลดลงของความชี้แจงในวัสดุจะอุบัติเหตุแห่งนี้เป็น 3 รูปแบบ ได้แก่ สมการจันทร์ศาสตร์ของการอุบัติเหตุทางทฤษฎี สมการจันทร์ศาสตร์ของการอุบัติเหตุกึ่งทฤษฎี และสมการจันทร์ศาสตร์ของการอุบัติเหตุทางทฤษฎีเอนไพริกัล สมการจันทร์ศาสตร์ของการอุบัติเหตุทางทฤษฎีเหมาะสมกับผลิตภัณฑ์ที่มีรูปร่างทางเรขาคณิตแน่นอน มีขนาดเท่าเดิมตลอดการอุบัติเหตุ และการเคลื่อนที่ของความชี้แจงจากการแพร่ย่างเดียว ผลิตภัณฑ์ทางเกษตรส่วนใหญ่มีรูปร่างไม่แน่นอน และโครงสร้างภายในมักจะประกอบด้วยเนื้อเยื่อและหลอดเลือด ฯ การเคลื่อนที่ของความชี้แจงระหว่างอุบัติเหตุอาจเนื่องจากการไหลดในหลอดแคปปิลารี และการแพร่ของของเหลว นอกจากนี้รูปทรงของผลิตภัณฑ์จะเปลี่ยนแปลงไปเนื่องจากการหดตัว การแข็งที่ผิวน้ำ เป็นต้น ดังนั้นการคำนวณการอุบัติเหตุทางทฤษฎีมาหาอัตราการอุบัติเหตุแห่งนี้โดยการคำนวณความผิดพลาด ได้สมการจันทร์ศาสตร์ของการอุบัติเหตุกึ่งทฤษฎีจะสามารถใช้ได้ดีต่อเมื่อวัสดุอุบัติเหตุแห่งนี้มีลักษณะใกล้เคียงกับการทดลองเท่านั้น สมการจันทร์ศาสตร์ของการอุบัติเหตุทางทฤษฎีเอนไพริกัลเป็นสมการที่สร้างจากแนวโน้มของข้อมูลที่ได้จากการทดลองสำหรับผลิตภัณฑ์ในช่วงอุณหภูมิ ความชื้นสัมพัทธ์ และความเร็วของอากาศอุบัติเหตุ ซึ่งพบว่าสามารถใช้คำนวณอัตราการอุบัติเหตุได้ดี แต่มีข้อจำกัดในเรื่องเงื่อนไขการอุบัติเหตุที่ต้องตรงกับสภาพอากาศและอุณหภูมิ (ธงไชย, 2530)

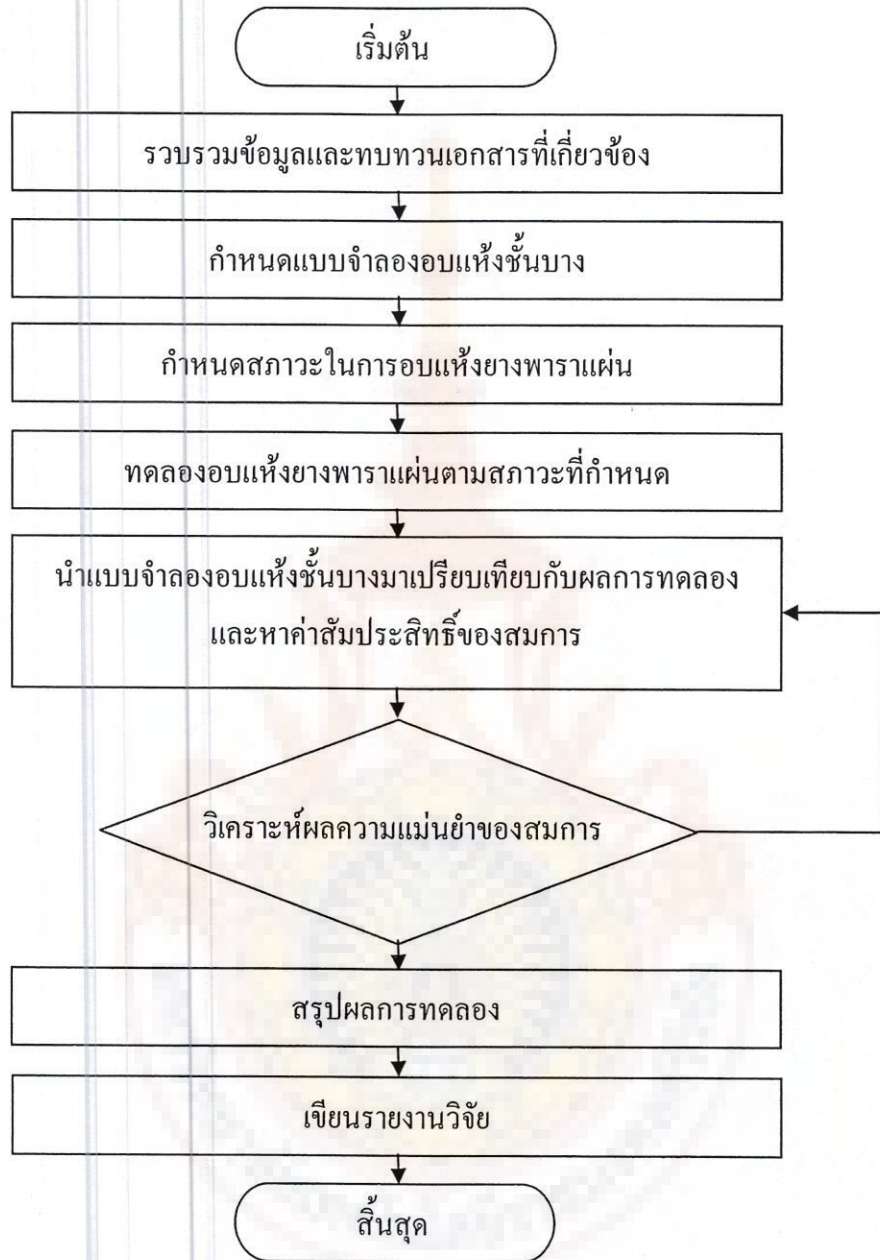
บทที่ 3

วิธีการดำเนินงาน

งานวิจัยนี้ทำการศึกษาการอบรมห้องบรรยายพาราเพ่น โดยทำการทดลองอบรมห้องบรรยายพาราเพ่นด้วยกลุ่มร้อนที่อุณหภูมิและความเร็วลมต่างๆ แล้วนำผลที่ได้จากการทดลองไปหารูปแบบสมการอบรมห้องหันมาที่เหมาะสมสำหรับการอบรมห้องบรรยายพาราเพ่นซึ่งมีวิธีการดำเนินงานแบ่งเป็นส่วนต่างๆ ดังนี้

3.1 แผนการดำเนินงาน

ในการศึกษาแบบจำลองอบรมห้องบรรยายที่เหมาะสมสำหรับการอบรมห้องบรรยายพาราเพ่น มีรายละเอียดสำคัญที่ต้องคำนึงถึง ดังแสดงในรูปที่ 3.1 และมีแผนการดำเนินงานดังแสดงในตารางที่ 3.1



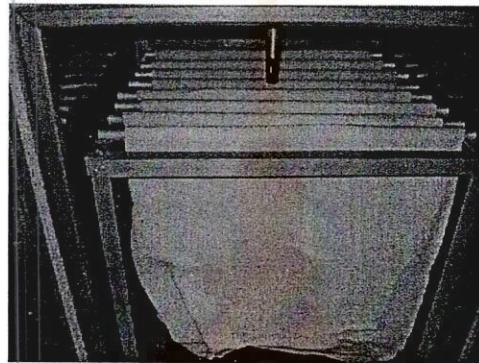
รูปที่ 3.1 ลำดับวิธีการดำเนินงาน

ตารางที่ 3.1 แผนการดำเนินงาน

3.1 วัสดุ เครื่องมือและอุปกรณ์

3.1.1 วัสดุ

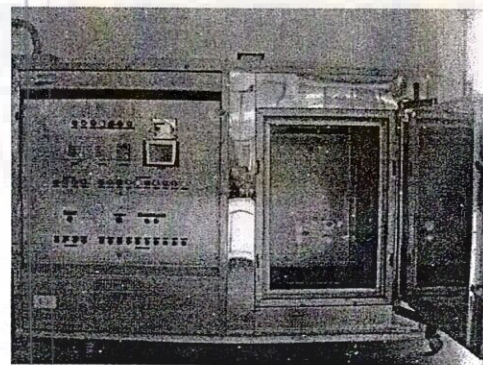
ยางพาราแผ่น ได้จากสหกรณ์สวนยางพิจิตรจำกัด ตำบลพิจิตร อำเภอนาหมื่น จังหวัดสงขลา ดังแสดงในรูปที่ 3.2



รูปที่ 3.2 ยางพาราแผ่น

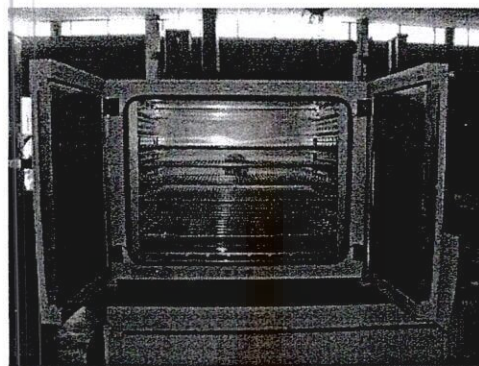
3.1.2 เครื่องมือและอุปกรณ์

3.1.2.1 ตู้อบความคุณสภาพสามารถควบคุมอุณหภูมิและความเร็วของอากาศ ในตู้อบ ได้ดังแสดงในรูปที่ 3.3



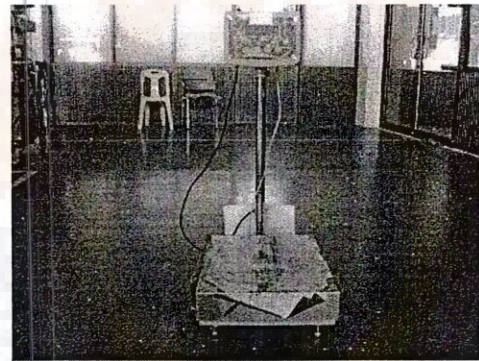
รูปที่ 3.3 ตู้อบความคุณสภาพ

3.1.2.2 ตู้อบความคุณอุณหภูมิ ยี่ห้อ BINDER ดังแสดงในรูปที่ 3.4



รูปที่ 3.4 ตู้อบความคุณอุณหภูมิ ยี่ห้อ BINDER

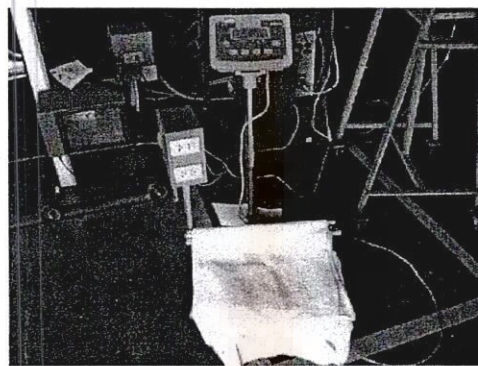
3.1.2.3 เครื่องชั่งน้ำหนัก ยี่ห้อ SARTORIUS รุ่น MIRAS สามารถชั่งน้ำหนักได้ 50 กิโลกรัม มีความละเอียด 1/1000 กิโลกรัม ดังแสดงในรูปที่ 3.5



รูปที่ 3.5 เครื่องชั่งน้ำหนัก ยี่ห้อ SARTORIUS รุ่น MIRAS

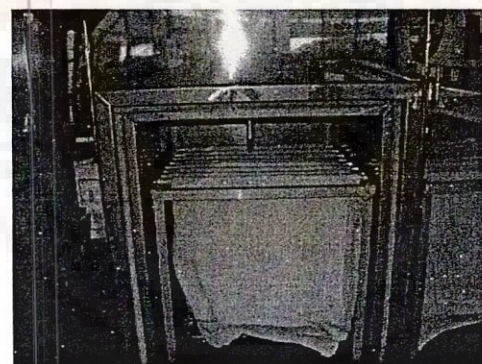
3.2 วิธีการทดลอง

3.2.1 นำยางแผ่นมาซั่งมวลก่อนเข้าเครื่องอบแห้ง ดังแสดงในรูปที่ 3.6

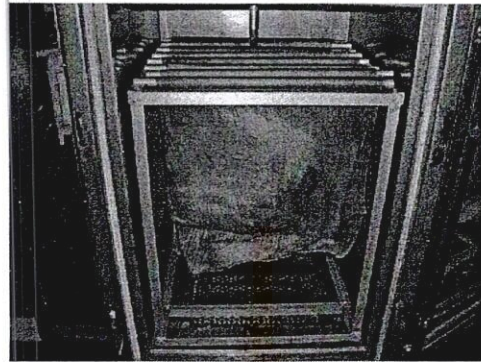


รูปที่ 3.6 ชั่งมวลยางพาราแผ่น

3.2.2 นำยางพาราแผ่นเข้าเครื่องอบแห้งแล้วควบคุมสภาวะอากาศที่ความเร็ว 0.5 เมตรต่อวินาที อุณหภูมิ 40°C ทำการเก็บค่า มวล อุณหภูมิอากาศ ความชื้นสัมพัทธ์อากาศ ในวันแรก ทุกๆ 1 ชั่วโมง ส่วนวันถัดไปจะทำการเก็บค่าทุกๆ 2 ชั่วโมง จนกว่ามวลของยางพาราที่ทำการอบแห้งไม่เปลี่ยนแปลง ดังแสดงในรูปที่ 3.7-3.8

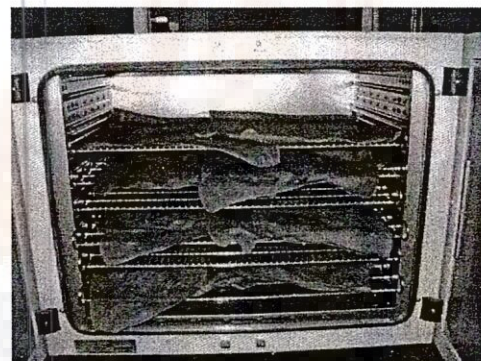


รูปที่ 3.7 ยางพาราแผ่นก่อนการอบแห้ง



รูปที่ 3.8 ย่างพาราแผ่นหลังการอบแห้ง

3.2.3 นำย่างพาราแผ่นไปอบแห้งในตู้อบแห้งอีกรั้งหนึ่ง โดยเพิ่มอุณหภูมิเป็น 70°C เพื่อ
หานมวลแห้งย่างพาราแผ่น ซึ่งบันทึกค่ามวลของย่างพาราแผ่นทุกวันๆ ละครั้งจนกว่ามวลของ
ย่างพาราแผ่นที่ทำการอบแห้งไม่เปลี่ยนแปลง ดังแสดงในรูปที่ 3.9



รูปที่ 3.9 อบแห้งเพื่อหานมวลแห้งย่างพาราแผ่น

3.2.4 ทำการหาค่าอัตราส่วนความชื้น

3.2.5 เปรียบเทียบอัตราส่วนความชื้นที่ได้จากการทดลองกับแบบจำลองอบแห้งชั้นบาง
โดยใช้โปรแกรม MATLAB เพื่อหาค่าสัมประสิทธิ์ของแบบจำลองและความแม่นยำของ
แบบจำลอง

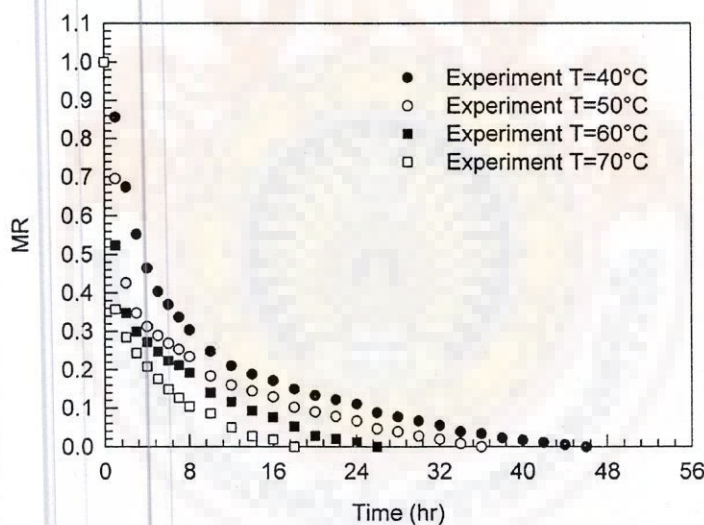
3.2.6 ทำการทดลองตามข้อ 3.2.1 ถึง 3.2.5 ซ้ำจนกว่าทำการทดลองครบตามสภาพว่าที่
กำหนด

บทที่ 4

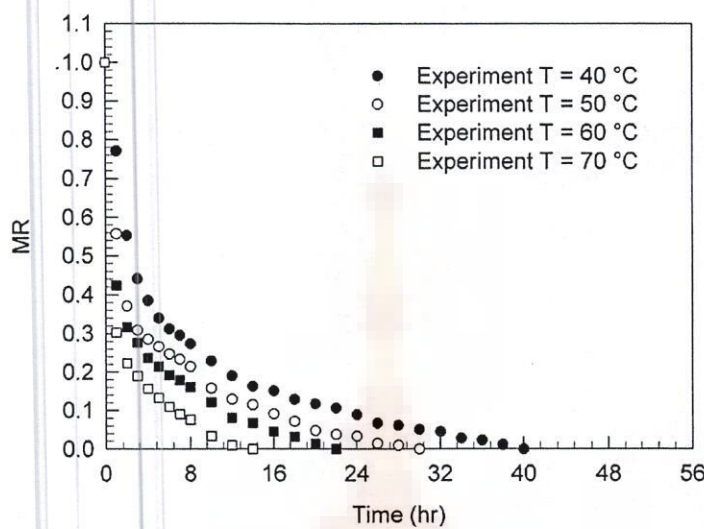
ผลการวิจัยและการวิเคราะห์

4.1 ผลการทดลองหาค่าอัตราส่วนความชื้น

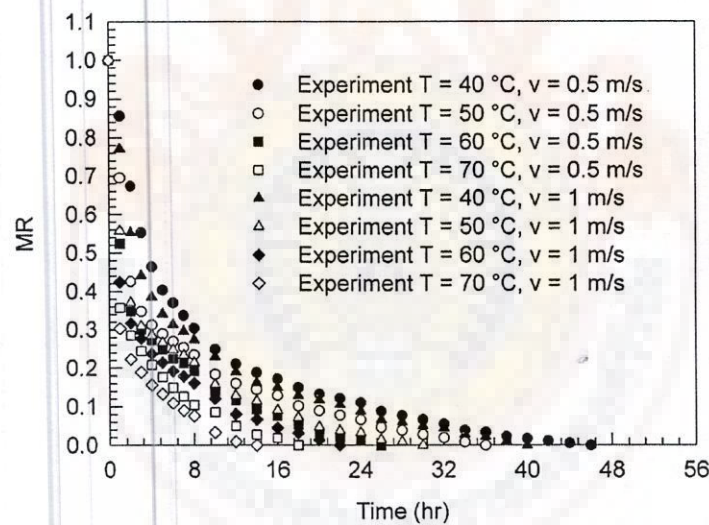
จากการทดลองหาค่าอัตราส่วนความชื้นของยางพาราแผ่นที่อุณหภูมิของอากาศ 40, 50, 60 และ 70 °C ความเร็วอากาศ 0.5 และ 1 เมตร/วินาที พบว่าที่สภาวะความเร็วการไหลดอากาศเท่ากันแต่ อุณหภูมิต่างกันนั้นเมื่ออุณหภูมิสูงขึ้นความชื้นในยางพาราจะระเหยออกได้เร็วกว่าที่อุณหภูมิต่ำ เนื่องจากสภาวะการกระตุ้นที่สูงขึ้นของโนเลกุลของน้ำนำไปสู่การลดลงของแรงดึงดูดระหว่าง โนเลกุลของน้ำ ส่วนที่สภาวะอุณหภูมิเท่ากันแต่ความเร็วการไหลดของอากาศต่างกันนั้นที่ความเร็ว การไหลดอากาศสูงขึ้นทำให้ความชื้นในยางพาราระเหยออกได้เร็วกว่าที่ความเร็วต่ำเนื่องจากที่การ ไหลดอากาศความเร็วสูงการพากความชื้นออกจากตัวอย่างแล้วจึงเร็วกว่าทำให้ความชื้นในตัวอย่างแห้งต่อลง ส่งผลให้เกิดการระเหยความชื้นออกจากยางพาราแผ่นได้เร็วกว่า ดังแสดงในรูปที่ 4.1-4.3 และมี ข้อมูลผลการทดลองดังแสดงในภาคผนวก ก



รูปที่ 4.1 อัตราส่วนความชื้นที่อุณหภูมิต่างๆ ความเร็วอากาศ 0.5 เมตร/วินาที



รูปที่ 4.2 อัตราส่วนความชื้นที่อุณหภูมิต่างๆ ความเร็วอากาศ 1 เมตร/วินาที



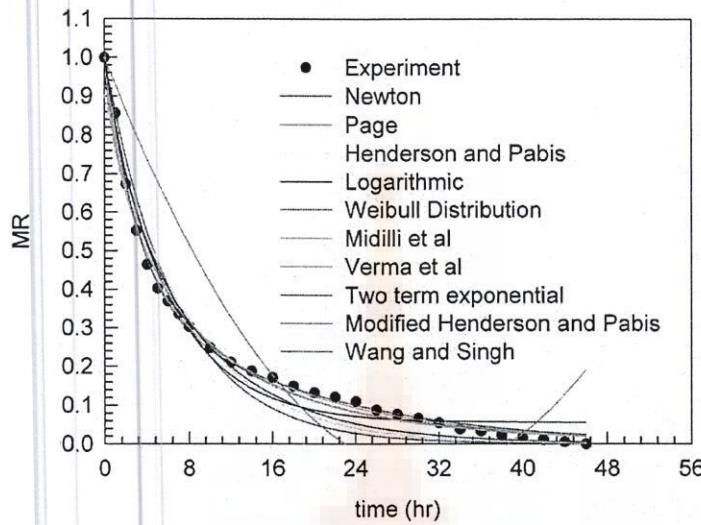
รูปที่ 4.3 อัตราส่วนความชื้นที่อุณหภูมิต่างๆ ความเร็วอากาศ 0.5 และ 1 เมตร/วินาที

4.2 การเปรียบเทียบแบบจำลองอบแห้งชั้นบางกับผลการทดลอง

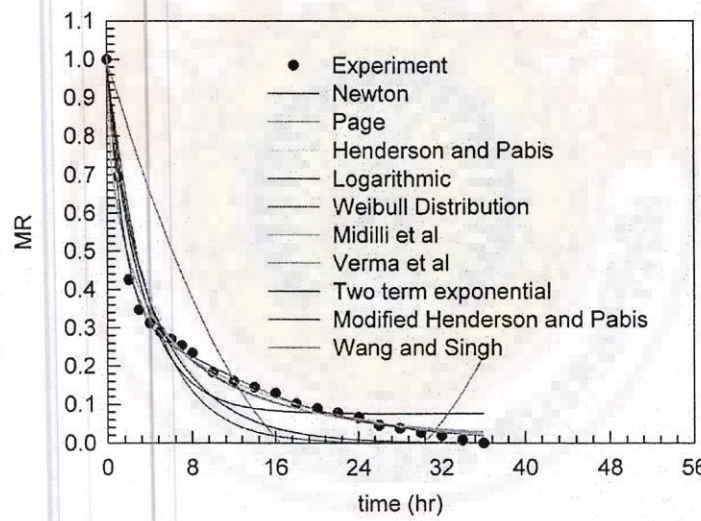
จากผลการเปรียบเทียบแบบจำลองอบแห้งชั้นบางดังแสดงในรูปที่ 4.4-4.11 และมีค่าคงที่จากการเปรียบเทียบดังแสดงในภาคผนวก ฯ พบว่ามีแบบจำลอง 5 แบบที่ทำนายค่าอัตราส่วนความชื้นของการอบแห้งยาพาราเพ่นได้ดีคือแบบจำลองของ Modified Henderson and Pabis, Verma et al., Midilli et al., Weibull Distribution และ Page ตามลำดับดังแสดงในรูปที่ 4.12 - 4.19 มีค่า R^2 อยู่ในช่วง 0.984-0.9992 โดยมีรายละเอียดของแบบจำลองดังนี้

- Modified Henderson and Pabis มี R^2 0.9956-0.9992 Adjusted R^2 0.9943-0.9989 SSE 0.0008541 - 0.005914 RMSE 0.007811 - 0.01786
- Verma et al. มี R^2 0.994 - 0.999 Adjusted R^2 0.9934 - 0.9988 SSE 0.0008506- 0.007469 RMSE 0.008793-0.01933
- Midilli et al. มี R^2 0.9845 - 0.9995 Adjusted R^2 0.9821 - 0.9992 SSE 0.0004352 - 0.01915 RMSE 0.007308 - 0.03175
- Weibull Distribution มี R^2 0.9842-0.9995 Adjusted R^2 0.9817-0.9993 SSE 0.0004162-0.01957 RMSE 0.006451-0.03209
- Page มี R^2 0.984 - 0.9934 Adjusted R^2 0.9832 - 0.9928 SSE 0.005237 - 0.01981 RMSE 0.02288 - 0.03071

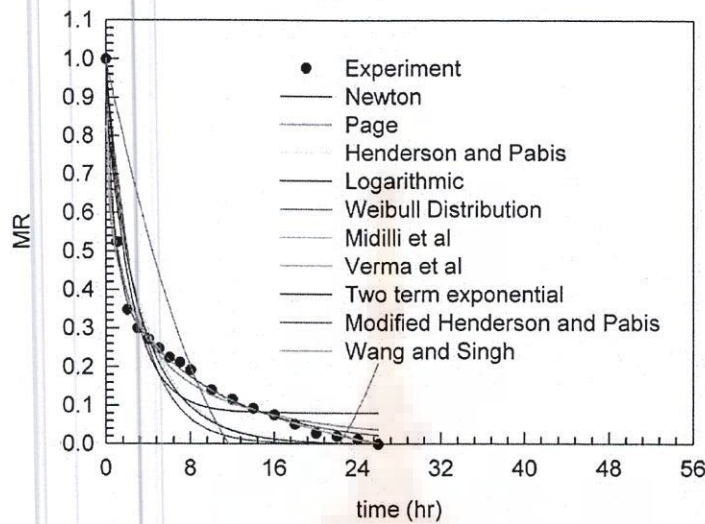
แบบจำลองอบแห้งชั้นบางที่ทำนายค่าอัตราส่วนความชื้นได้ดีในทุกสภาพภาวะของการทดลองคือแบบจำลองของ Modified Henderson and Pabis มีค่า R^2 อยู่ในช่วง 0.9956 - 0.9992 ซึ่งมีค่า R^2 สูงกว่าแบบจำลองอบแห้งชั้นบางแบบอื่นๆ ได้ผลการเปรียบเทียบแบบจำลองกับผลการทดลองดังแสดงในรูปที่ 4.20 - 4.29



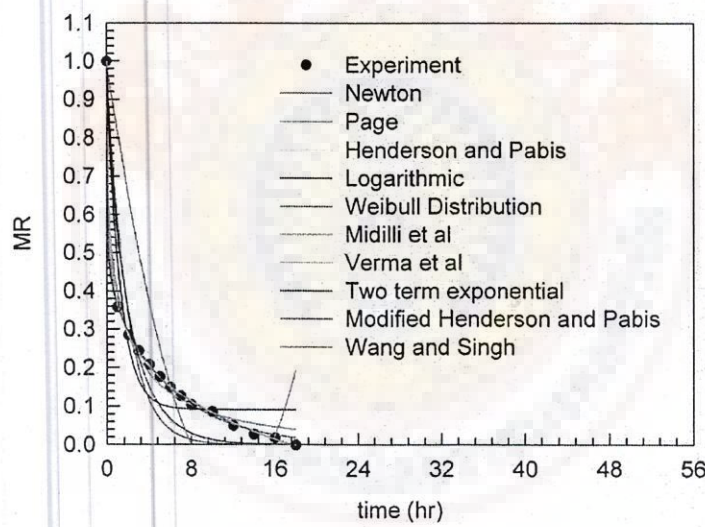
รูปที่ 4.4 เปรียบเทียบแบบจำลองอบแห้งชั้นบางกับผลการทดลอง
(ความเร็วอากาศ 0.5 m/s อุณหภูมิ 40°C)



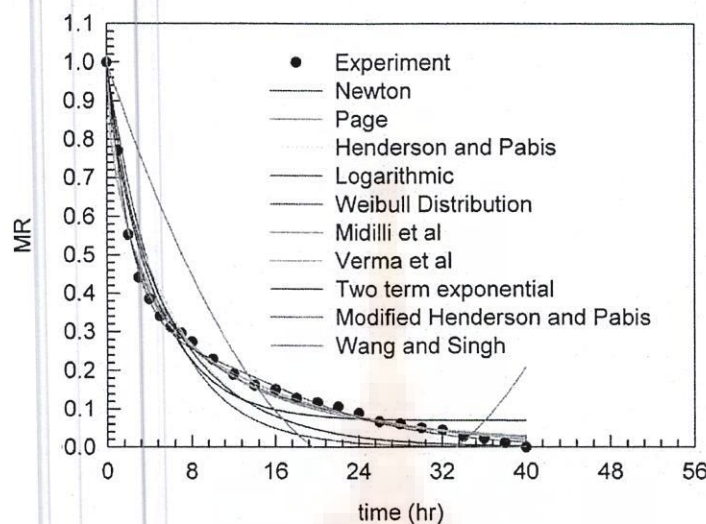
รูปที่ 4.5 เปรียบเทียบแบบจำลองอบแห้งชั้นบางกับผลการทดลอง
(ความเร็วอากาศ 0.5 m/s อุณหภูมิ 50°C)



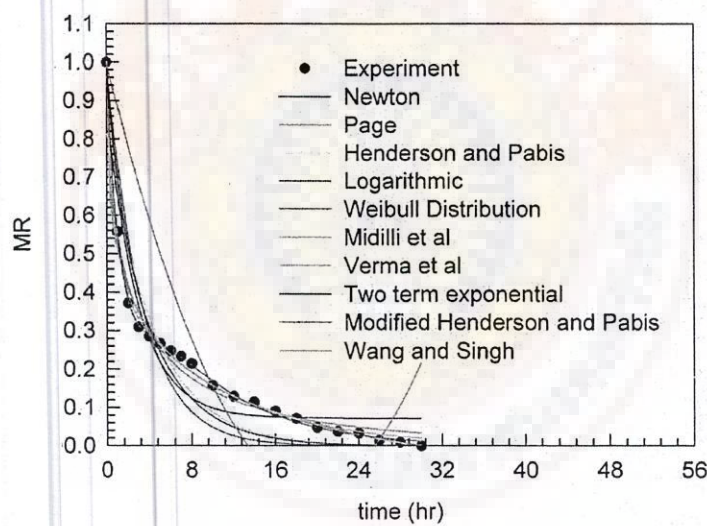
รูปที่ 4.6 เปรียบเทียบแบบจำลองอบแห้งชั้นบางกับผลการทดลอง
(ความเร็วอากาศ 0.5 m/s อุณหภูมิ 60°C)



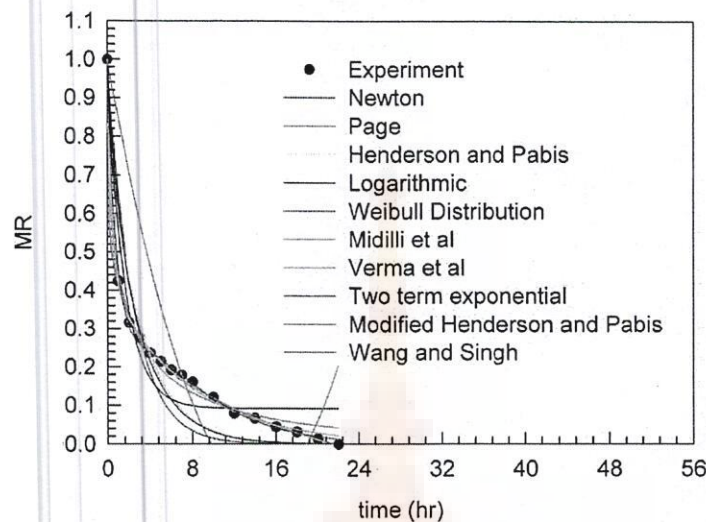
รูปที่ 4.7 เปรียบเทียบแบบจำลองอบแห้งชั้นบางกับผลการทดลอง
(ความเร็วอากาศ 0.5 m/s อุณหภูมิ 70°C)



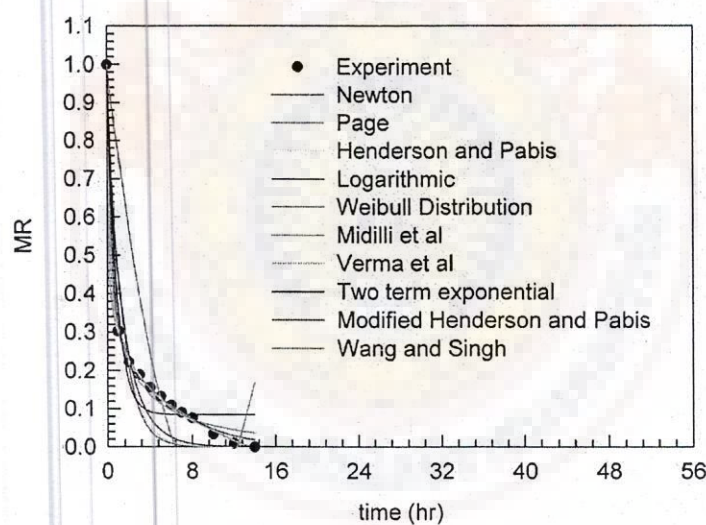
รูปที่ 4.8 เปรียบเทียบแบบจำลองอบแห้งชั้นบางกับผลการทดลอง
(ความเร็วอากาศ 1 m/s อุณหภูมิ 40 °C)



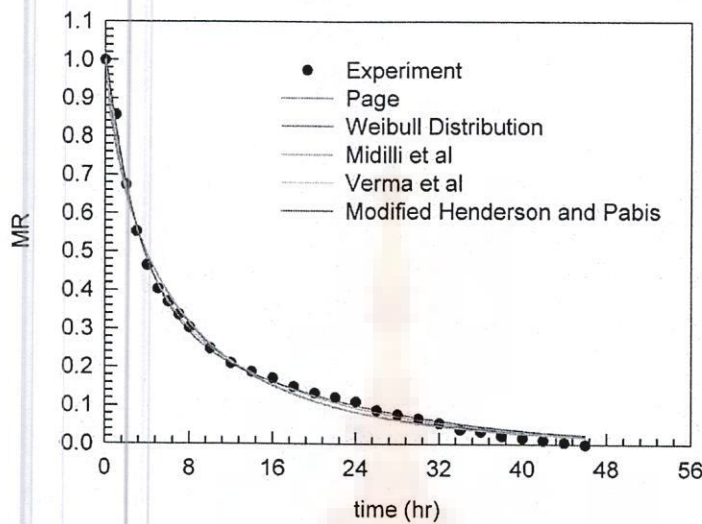
รูปที่ 4.9 เปรียบเทียบแบบจำลองอบแห้งชั้นบางกับผลการทดลอง
(ความเร็วอากาศ 1 m/s อุณหภูมิ 50 °C)



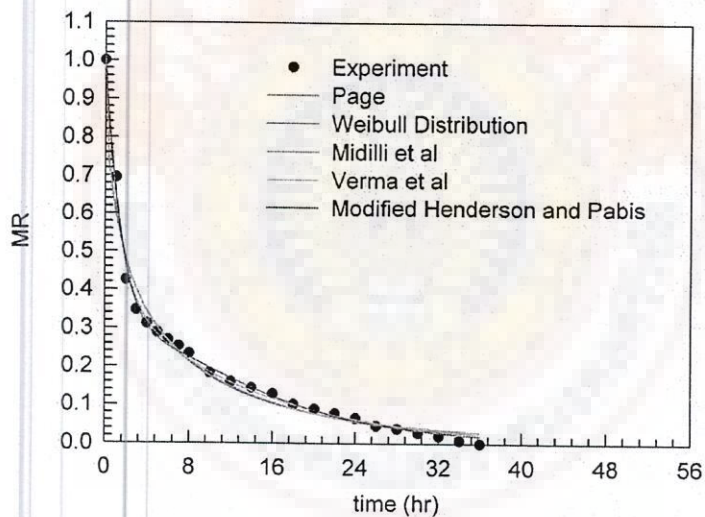
รูปที่ 4.10 เปรียบเทียบแบบจำลองของแห้งชั้นบางกับผลการทดลอง
(ความเร็วอากาศ 1 m/s อุณหภูมิ 60 °C)



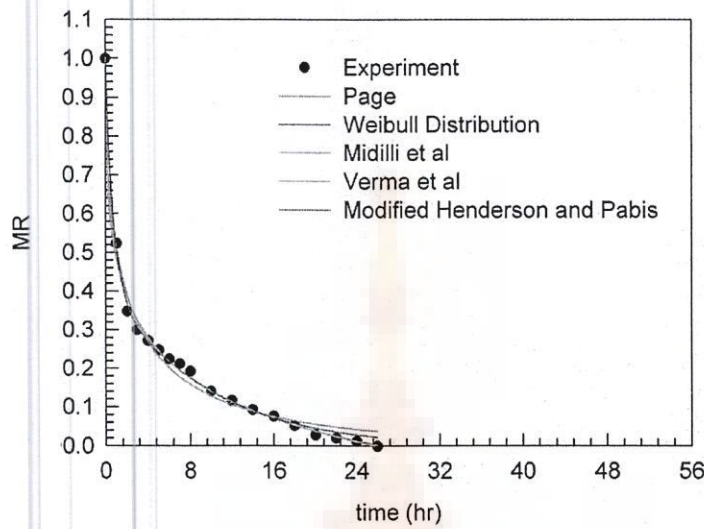
รูปที่ 4.11 เปรียบเทียบแบบจำลองของแห้งชั้นบางกับผลการทดลอง
(ความเร็วอากาศ 1 m/s อุณหภูมิ 70 °C)



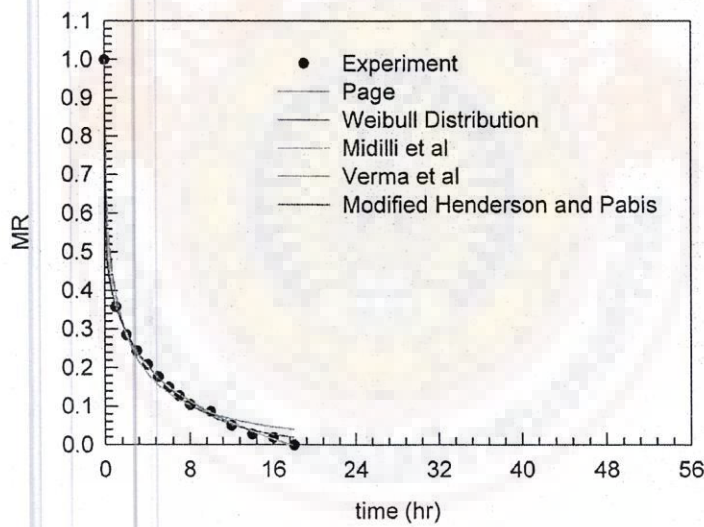
รูปที่ 4.12 เปรียบเทียบผลการทดลองกับแบบจำลอง Modified Henderson and Pabis, Verma et al., Midilli et al., Weibull Distribution และ Page (ความเร็วอากาศ 0.5 m/s อุณหภูมิ 40 °C)



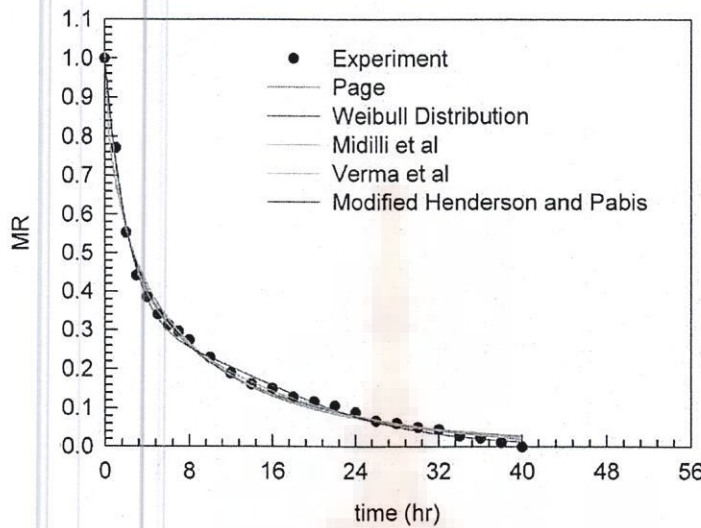
รูปที่ 4.13 เปรียบเทียบผลการทดลองกับแบบจำลอง Modified Henderson and Pabis, Verma et al., Midilli et al., Weibull Distribution และ Page (ความเร็วอากาศ 0.5 m/s อุณหภูมิ 50 °C)



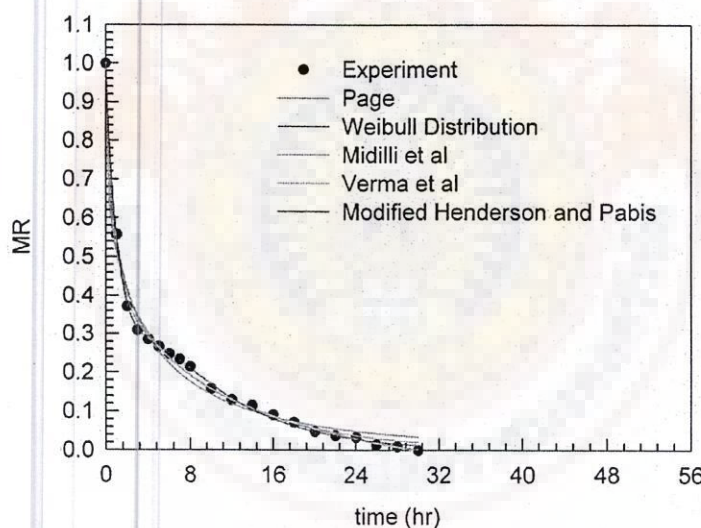
รูปที่ 4.14 เปรียบเทียบผลการทดลองกับแบบจำลอง Modified Henderson and Pabis, Verma et al., Midilli et al., Weibull Distribution และ Page (ความเร็วอากาศ 0.5 m/s อุณหภูมิ 60 °C)



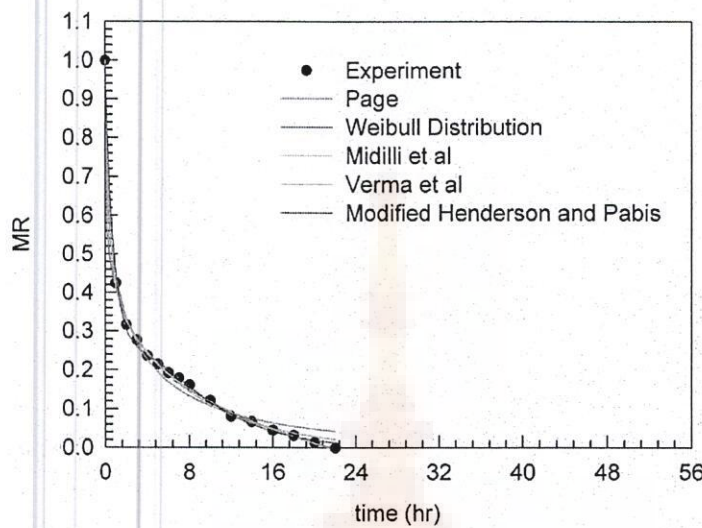
รูปที่ 4.15 เปรียบเทียบผลการทดลองกับแบบจำลอง Modified Henderson and Pabis, Verma et al., Midilli et al., Weibull Distribution และ Page (ความเร็วอากาศ 0.5 m/s อุณหภูมิ 70 °C)



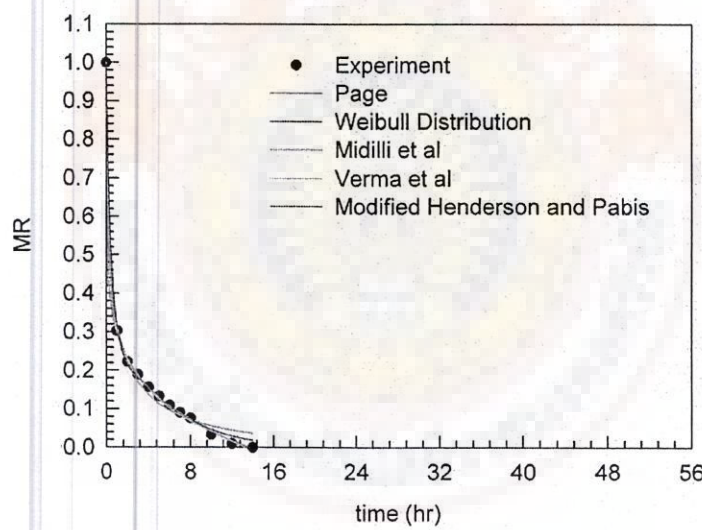
รูปที่ 4.16 เปรียบเทียบผลการทดลองกับแบบจำลอง Modified Henderson and Pabis, Verma et al., Midilli et al., Weibull Distribution และ Page (ความเร็วอากาศ 1 m/s อุณหภูมิ 40 °C)



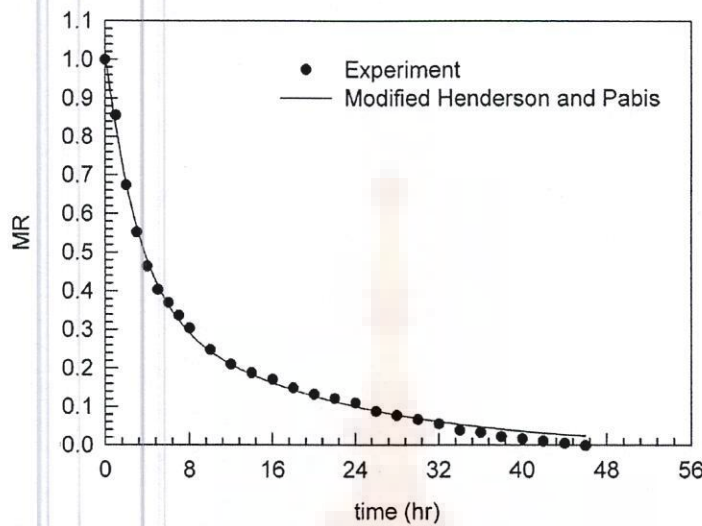
รูปที่ 4.17 เปรียบเทียบผลการทดลองกับแบบจำลอง Modified Henderson and Pabis, Verma et al., Midilli et al., Weibull Distribution และ Page (ความเร็วอากาศ 1 m/s อุณหภูมิ 50 °C)



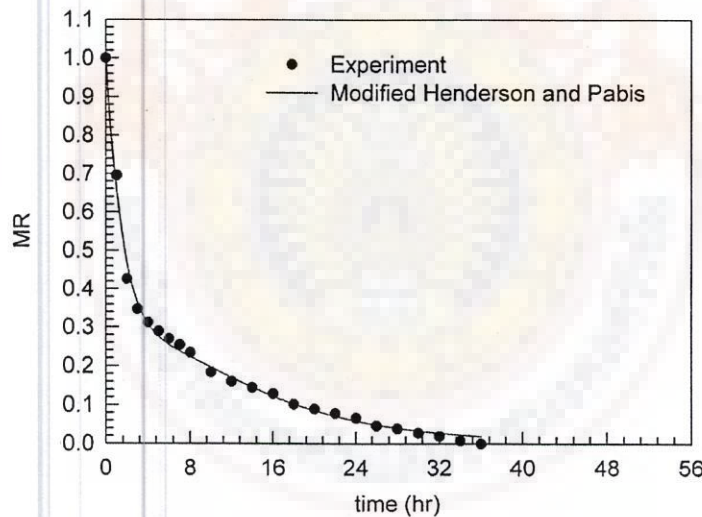
รูปที่ 4.18 เปรียบเทียบผลการทดลองกับแบบจำลอง Modified Henderson and Pabis, Verma et al., Midilli et al., Weibull Distribution และ Page (ความเร็วอากาศ 1 m/s อุณหภูมิ 60 °C)



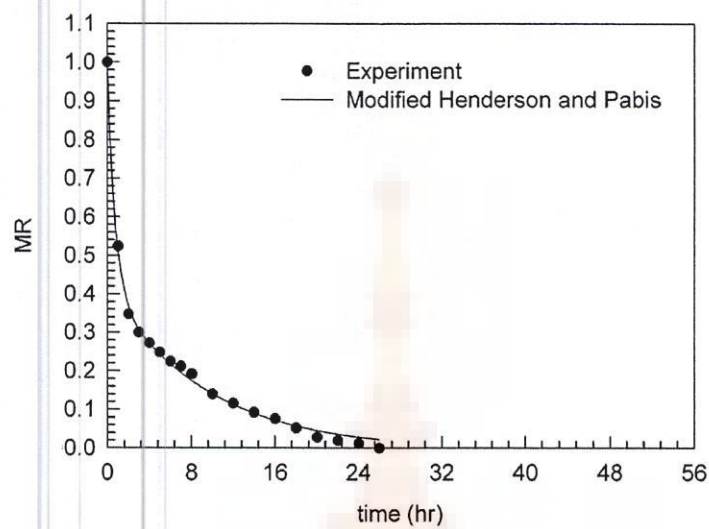
รูปที่ 4.19 เปรียบเทียบผลการทดลองกับแบบจำลอง Modified Henderson and Pabis, Verma et al., Midilli et al., Weibull Distribution และ Page (ความเร็วอากาศ 1 m/s อุณหภูมิ 70 °C)



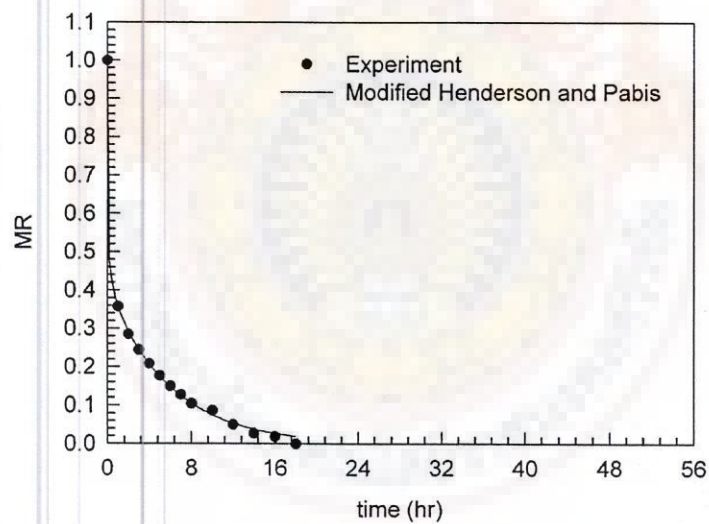
รูปที่ 4.20 เปรียบเทียบผลการทดลองกับแบบจำลอง Modified Henderson and Pabis
(ความเร็วอากาศ 0.5 m/s อุณหภูมิ 40°C)



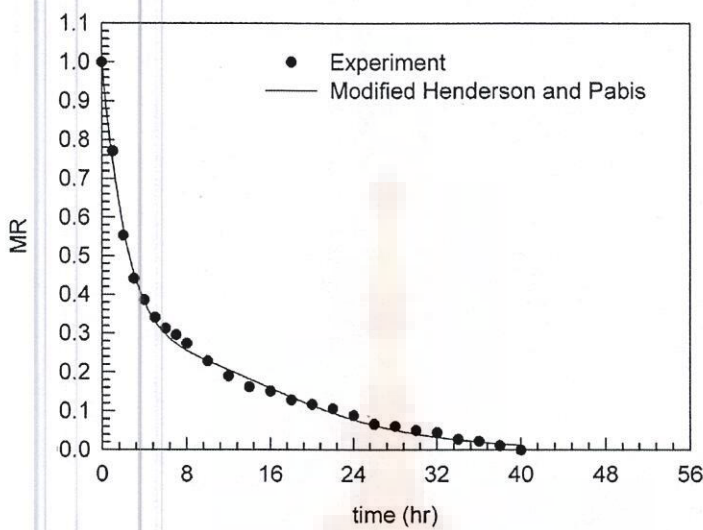
รูปที่ 4.21 เปรียบเทียบผลการทดลองกับแบบจำลอง Modified Henderson and Pabis
(ความเร็วอากาศ 0.5 m/s อุณหภูมิ 50°C)



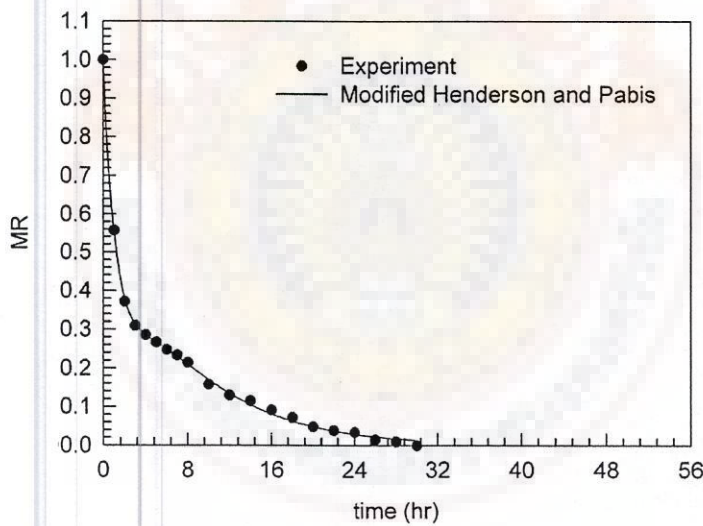
รูปที่ 4.22 เปรียบเทียบผลการทดลองกับแบบจำลอง Modified Henderson and Pabis
(ความเร็วอากาศ 0.5 m/s อุณหภูมิ 60 °C)



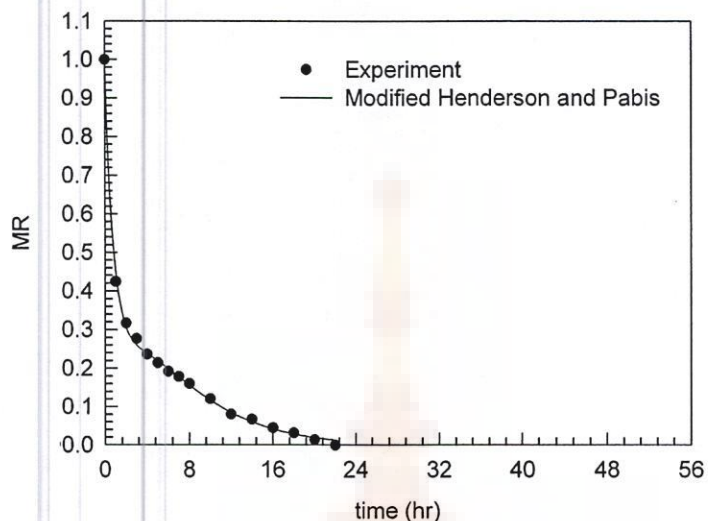
รูปที่ 4.23 เปรียบเทียบผลการทดลองกับแบบจำลอง Modified Henderson and Pabis
(ความเร็วอากาศ 0.5 m/s อุณหภูมิ 70 °C)



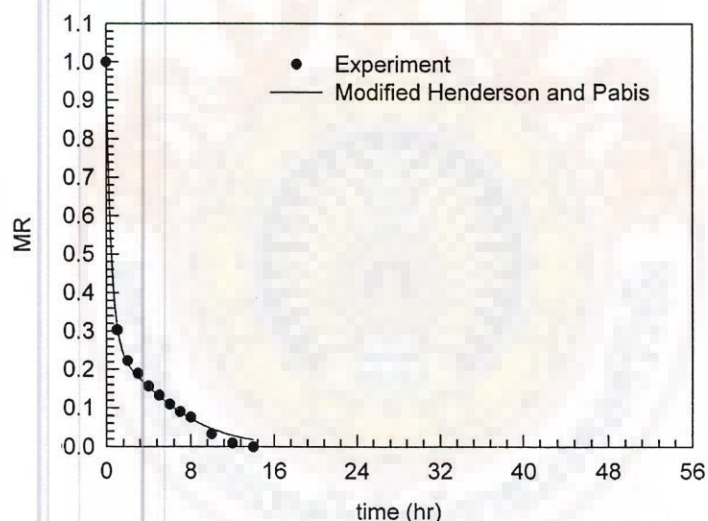
รูปที่ 4.24 เปรียบเทียบผลการทดลองกับแบบจำลอง Modified Henderson and Pabis
(ความเร็วอากาศ 1 m/s อุณหภูมิ 40 °C)



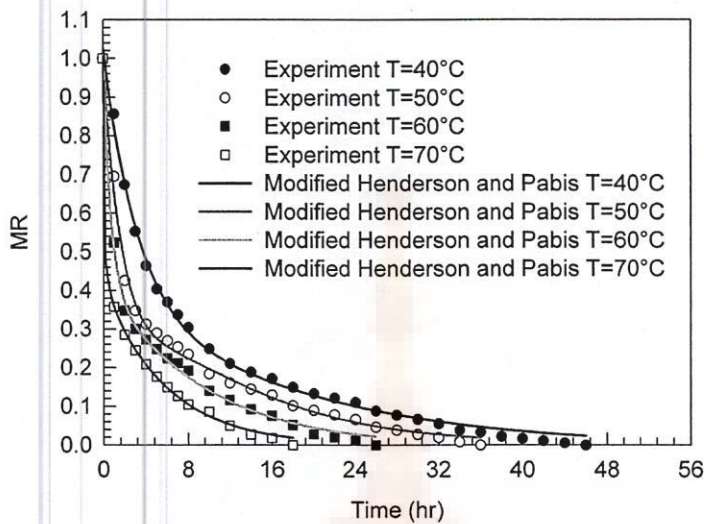
รูปที่ 4.25 เปรียบเทียบผลการทดลองกับแบบจำลอง Modified Henderson and Pabis
(ความเร็วอากาศ 1 m/s อุณหภูมิ 50 °C)



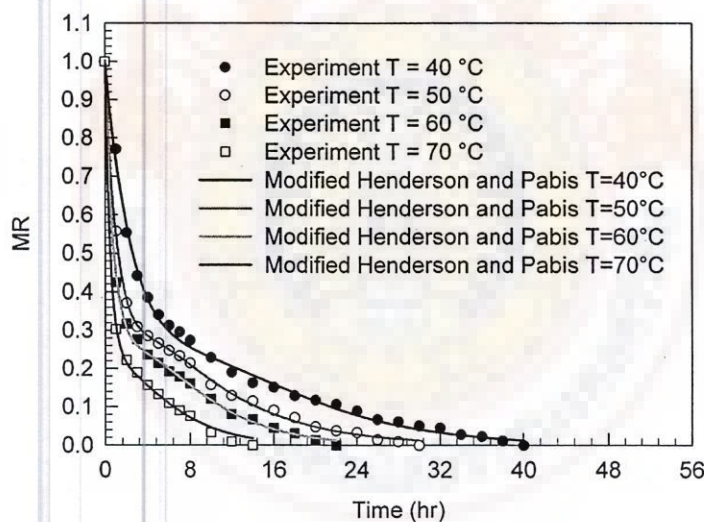
รูปที่ 4.26 เปรียบเทียบผลการทดลองกับแบบจำลอง Modified Henderson and Pabis
(ความเร็วอากาศ 1 m/s อุณหภูมิ 60 °C)



รูปที่ 4.27 เปรียบเทียบผลการทดลองกับแบบจำลอง Modified Henderson and Pabis
(ความเร็วอากาศ 1 m/s อุณหภูมิ 70 °C)



รูปที่ 4.28 เปรียบเทียบผลการทดลองกับแบบจำลอง Modified Henderson and Pabis
(ความเร็วอากาศ 0.5 m/s)



รูปที่ 4.29 เปรียบเทียบผลการทดลองกับแบบจำลอง Modified Henderson and Pabis
(ความเร็วอากาศ 1 m/s)

บทที่ 5

สรุป

จากการศึกษาการอบแห้งยางพาราแผ่นที่สภาวะต่างๆ แล้วใช้แบบจำลองอบแห้งชั้นบางที่แตกต่างกันมาเปรียบเทียบกับผลการทดลองเพื่อหาแบบจำลองอบแห้งชั้นบางที่เหมาะสมสำหรับการอบแห้งยางพาราแผ่นซึ่งได้สรุปผลการทดลองดังต่อไปนี้

5.1 สรุปผลการทดลอง

อัตราส่วนความชื้นของยางพาราแผ่นที่อุณหภูมิของอากาศ 40, 50, 60 และ 70°C ความเร็วอากาศ 0.5 และ 1 เมตร/วินาที พบร่วมกับสภาวะความเร็วการไอลอักษรเท่ากันแต่อุณหภูมิต่างกันเมื่ออุณหภูมิสูงขึ้นความชื้นในยางพาราจะระเหยออกได้เร็วกว่าที่อุณหภูมิต่ำเนื่องจากสภาวะการกระตุ้นที่สูงขึ้นของโมเดลกุลของน้ำนำไปสู่การลดลงของแรงดึงดูดระหว่างโมเดลกุลของน้ำ ส่วนที่สภาวะอุณหภูมิเท่ากันแต่ความเร็วการไอลอักษรต่างกันเมื่อความเร็วการไอลอักษรสูงขึ้นทำให้ความชื้นในยางพาราระเหยออกได้เร็วกว่าที่ความเร็วต่ำเนื่องจากที่การไอลอักษรความเร็วสูงการพาราความชื้นออกจากตู้อบแห้งจึงเร็วกว่าทำให้ความชื้นในตู้อบแห้งต่ำลงส่งผลให้เกิดการระเหยความชื้นออกจากยางพาราแผ่นได้เร็วกว่า การเปรียบเทียบแบบจำลองอบแห้งชั้นบางพบว่ามีแบบจำลอง 5 แบบที่ทำนายค่าอัตราส่วนความชื้นของการอบแห้งยางพาราแผ่นได้คือแบบจำลองของ Modified Henderson and Pabis, Verma et al., Midilli et al., Weibull Distribution และ Page ตามลำดับ จะมีค่า R^2 อยู่ในช่วง 0.984 - 0.9992 ส่วนแบบจำลองอบแห้งชั้นบางที่ทำนายค่าอัตราส่วนความชื้นได้คือในทุกสภาวะของการทดลองคือแบบจำลองของ Modified Henderson and Pabis มีค่า R^2 อยู่ในช่วง 0.9956 - 0.9992 ซึ่งมีค่า R^2 สูงกว่าแบบจำลองอบแห้งชั้นบางแบบอื่นๆ

เอกสารอ้างอิง

- คง ไชย ศรีนพคุณ, 2530, สมการอบแห้งและแบบจำลองความชื้นสมดุลย์ของผลิตภัณฑ์เกษตร, วิทยานิพนธ์วิศวกรรมศาสตร์บัณฑิต, ภาควิชาวิศวกรรมเคมี คณะวิศวกรรมศาสตร์ สถาบันเทคโนโลยีพระจอมเกล้าธนบุรี.
- สถาบันวิจัยยาง กรมวิชาการเกษตร กระทรวงเกษตรและสหกรณ์, 2553, ข้อมูลวิชาการยางพารา 2553.
- Akpınar E. K., Bicer Y. and Cetinkaya F., 2006, Modelling of thin layer drying of parsley leaves in a convective dryer and under open sun, *Journal of Food Engineering*, 75, 308 – 315.
- Babalis S. J., Papanicolaou E., Kyriakis N. and Belessiotis V. G., 2006, Evaluation of thin-layer drying models for describing drying kinetics of figs (*Ficus carica*), *Journal of Food Engineering*, 75, 205 – 214.
- Chaiprapat S. and Sdoodee S., 2007, Effects of wastewater recycling from natural rubber smoked sheet production on economic crops in southern Thailand, *Conservation and Recycling*, 51, 577 - 590.
- Dejchanchaiwong R., Suchonpanit W., Akephom A., Lapo T., Tirawanichakul Y., Tekasakul P. and Tirawanichakul S., 2011, Artificial neural network approach on equilibrium moisture content for predicting kinetics of air dried sheet rubber, *Thai Institute of Chemical Engineering and Applied Chemistry Conference*, Songkhla, Thailand, November 10 – 11, 21, 1 - 8.
- Doymaz I., 2006, Thin-layer drying behaviour of mint leaves, *Journal of Food Engineering*, 74, 370 – 375.
- Ertekin C. and Yaldiz O., 2004, Drying of eggplant and selection of a suitable thin layer drying model, *Journal of Food Engineering*, 63, 349 – 359.
- Hacihaftoglu O., Cihan A. and Kahveci K., 2008, Mathematical modelling of drying of thin layer rough rice, food and bioproducts processing, 86, 268 – 275.
- Janjai S., Precoppe M., Lamlert N., Mahayothee B., Bala B.K., Nagle M. and Müller J., 2010, Thin-layer drying of litchi (*Litchi chinensis*Sonn.), *Food and Bioproducts Processing*, 1-8.

- Mazutti M. A., Zabot G., Boni G., Skovronski A., Oliveira D. de, Luccio M. Di, Oliveira J. V., Rodrigues M. I., Treichel H., Maugeri F., 2010, Mathematical modeling of thin-layer drying of fermented and non-fermented sugarcane bagasse, biomass and bioenergy, 34, 780 – 786.
- Menges H. O. and Ertekin C., 2006, Mathematical modeling of thin layer drying of Golden apples, Journal of Food Engineering, 77, 119 – 125.
- PerapongTekasakul and MachimontornPromtong, 2008, Energy efficiency enhancement of natural rubber smoking process by flow improvement using a CFD technique, Applied Energy, 85, 878 – 895.
- Togrul I. T. and Pehlivan D., 2004, Modelling of thin layer drying kinetics of some fruits under open-air sun drying process, Journal of Food Engineering, 65, 413 – 425.
- Wang Z., Sun J., Liao X., Chen F., Zhao G., Wu J. and Hu X., 2007, Mathematical modeling on hot air drying of thin layer apple pomace, Food Research International, 40, 39 – 46.

ภาคพนวก



ภาคผนวก ก

ผลการทดสอบ

ตาราง ก.1 ผลการทดลองที่สภาวะความเร็วอากาศ 0.5 m/s อุณหภูมิ 40 °C

time (hr)	m (kg)	m_d (kg)	MC_{db} (%)	MR	T_{in} (°C)	RH_{in} (%)	T_{out} (%)	RH_{out} (%)
0	10.81	8.64	25.12	1.00	42.50	45.60	28.00	71.80
1	10.55	8.64	22.11	0.86	40.50	42.50	29.10	66.50
2	10.22	8.64	18.29	0.67	39.90	41.60	29.40	63.30
3	10.00	8.64	15.74	0.55	39.20	41.20	29.90	61.60
4	9.84	8.64	13.89	0.46	39.90	39.50	30.30	61.20
5	9.73	8.64	12.62	0.40	39.20	40.90	30.90	58.40
6	9.67	8.64	11.92	0.37	40.00	37.80	31.50	56.00
7	9.61	8.64	11.23	0.34	40.30	37.80	31.90	54.70
8	9.55	8.64	10.53	0.30	39.90	40.10	31.60	58.00
10	9.45	8.64	9.37	0.25	39.30	39.50	29.70	62.80
12	9.38	8.64	8.56	0.21	40.20	39.10	31.10	59.50
14	9.34	8.64	8.10	0.19	40.00	40.40	29.40	67.10
16	9.31	8.64	7.75	0.17	40.20	38.50	29.80	63.60
18	9.27	8.64	7.29	0.15	39.70	38.40	28.40	66.60
20	9.24	8.64	6.94	0.13	39.80	38.40	29.80	62.90
22	9.22	8.64	6.71	0.12	39.30	36.50	31.00	53.80
24	9.20	8.64	6.48	0.11	39.40	35.70	31.00	51.70
26	9.16	8.64	6.02	0.09	39.80	39.90	29.30	66.00
28	9.14	8.64	5.79	0.08	39.80	39.70	30.10	63.20
30	9.12	8.64	5.56	0.07	39.30	39.00	31.20	57.80
32	9.10	8.64	5.32	0.06	40.10	37.30	31.70	55.40
34	9.07	8.64	4.98	0.04	40.30	40.40	28.90	69.60
36	9.06	8.64	4.86	0.03	39.30	39.60	30.50	60.70

ตาราง ก.1 ผลการทดลองที่สภาวะความเร็วอากาศ 0.5 m/s อุณหภูมิ 40°C (ต่อ)

time (hr)	m (kg)	m_d (kg)	MC_{db} (%)	MR	T_{in} (°C)	RH_{in} (%)	T_{out} (%)	RH_{out} (%)
38	9.04	8.64	4.63	0.02	40.50	37.10	30.60	59.60
40	9.03	8.64	4.51	0.02	39.20	40.60	28.10	69.90
42	9.02	8.64	4.40	0.01	40.10	41.10	27.50	75.60
44	9.01	8.64	4.28	0.01	40.10	40.30	27.30	76.60
46	9.00	8.64	4.17	0.00	39.30	38.60	27.80	69.20

ตาราง ก.2 ผลการทดลองที่สภาวะความเร็วอากาศ 0.5 m/s อุณหภูมิ 50 °C

time (hr)	m (kg)	m_d (kg)	MC_{db} (%)	MR	T_{in} (°C)	RH_{in} (%)	T_{out} (%)	RH_{out} (%)
0	9.79	6.87	42.50	1.00	49.10	30.90	29.40	68.30
1	9.01	6.87	31.15	0.70	49.80	29.80	29.50	67.70
2	8.32	6.87	21.11	0.43	49.40	25.60	30.20	64.10
3	8.12	6.87	18.20	0.35	49.80	25.10	30.70	62.70
4	8.03	6.87	16.89	0.31	50.20	23.80	31.40	60.20
5	7.97	6.87	16.01	0.29	50.10	22.30	32.00	54.90
6	7.92	6.87	15.28	0.27	50.30	20.90	32.60	50.60
7	7.88	6.87	14.70	0.25	50.50	24.50	32.40	59.50
8	7.83	6.87	13.97	0.23	50.40	22.30	32.50	54.30
10	7.70	6.87	12.08	0.18	49.20	23.90	29.70	63.90
12	7.64	6.87	11.21	0.16	50.00	22.30	31.00	58.10
14	7.60	6.87	10.63	0.14	49.70	21.70	31.60	54.70
16	7.56	6.87	10.04	0.13	50.20	21.30	31.50	54.80
18	7.49	6.87	9.02	0.10	49.70	23.80	28.00	71.20
20	7.46	6.87	8.59	0.09	50.30	22.90	29.50	65.60
22	7.43	6.87	8.15	0.08	50.30	20.50	32.20	52.30
24	7.40	6.87	7.71	0.07	50.00	20.50	32.60	50.20
26	7.35	6.87	6.99	0.05	49.20	22.20	29.90	60.10
28	7.33	6.87	6.70	0.04	50.10	19.10	30.70	51.70
30	7.30	6.87	6.26	0.03	49.60	19.00	32.10	47.70
32	7.28	6.87	5.97	0.02	50.40	19.00	32.60	46.50
34	7.25	6.87	5.53	0.01	49.10	23.10	30.40	60.50
36	7.23	6.87	5.24	0.00	49.80	25.40	30.90	64.50

ตาราง ก.3 ผลการทดลองที่สภาวะความเร็วอากาศ 0.5 m/s อุณหภูมิ 60 °C

time (hr)	m (kg)	m_d (kg)	MC_{db} (%)	MR	T_{in} (°C)	RH_{in} (%)	T_{out} (%)	RH_{out} (%)
0	9.32	6.77	37.67	1.00	61.00	21.20	28.40	69.90
1	8.13	6.77	20.09	0.52	58.70	16.20	30.70	61.10
2	7.69	6.77	13.59	0.35	59.10	14.30	31.60	56.90
3	7.57	6.77	11.82	0.30	59.40	13.90	32.50	53.90
4	7.50	6.77	10.78	0.27	59.70	13.70	33.20	53.10
5	7.44	6.77	9.90	0.25	59.70	12.90	33.10	51.10
6	7.38	6.77	9.01	0.22	59.90	13.00	33.00	51.90
7	7.35	6.77	8.57	0.21	59.70	13.20	33.10	51.90
8	7.30	6.77	7.83	0.19	59.70	13.10	32.80	52.70
10	7.17	6.77	5.91	0.14	59.50	13.10	31.20	56.80
12	7.11	6.77	5.02	0.12	59.60	12.40	32.20	51.90
14	7.05	6.77	4.14	0.09	58.90	12.60	33.40	48.40
16	7.01	6.77	3.55	0.08	59.70	12.70	33.30	50.10
18	6.95	6.77	2.66	0.05	59.40	13.00	29.50	62.70
20	6.89	6.77	1.77	0.03	58.70	13.30	30.80	58.50
22	6.87	6.77	1.48	0.02	59.60	14.90	31.40	62.80
24	6.85	6.77	1.18	0.01	59.10	15.50	29.00	73.50
26	6.82	6.77	0.74	0.00	59.20	14.10	30.20	64.40

ตาราง ก.4 ผลการทดลองที่สภาวะความเร็วอากาศ 0.5 m/s อุณหภูมิ 70 °C

time (hr)	m (kg)	m_d (kg)	MC _{db} (%)	MR	T _{in} (°C)	RH _{in} (%)	T _{out} (%)	RH _{out} (%)
0	8.92	6.68	33.53	1.00	69.80	16.20	27.50	75.50
1	7.50	6.68	12.28	0.36	68.90	8.50	28.20	71.40
2	7.34	6.68	9.88	0.29	69.90	7.70	29.10	69.20
3	7.25	6.68	8.53	0.24	69.80	8.00	29.80	67.80
4	7.17	6.68	7.34	0.21	70.00	7.90	30.20	66.70
5	7.10	6.68	6.29	0.18	70.10	7.70	30.70	64.50
6	7.04	6.68	5.39	0.15	69.90	7.70	30.90	64.30
7	6.99	6.68	4.64	0.13	70.00	7.80	31.20	63.10
8	6.94	6.68	3.89	0.10	69.90	7.70	31.40	62.30
10	6.90	6.68	3.29	0.09	69.40	6.50	29.20	61.90
12	6.82	6.68	2.10	0.05	69.90	6.50	30.00	60.00
14	6.77	6.68	1.35	0.03	70.10	7.20	31.20	59.90
16	6.75	6.68	1.05	0.02	70.00	7.20	31.30	60.70
18	6.71	6.68	0.45	0.00	69.60	7.80	29.70	68.20

ตาราง ก.5 ผลการทดลองที่สภาวะความเร็วอากาศ 1 m/s อุณหภูมิ 40 °C

time (hr)	m (kg)	m_d (kg)	MC _{db} (%)	MR	T _{in} (°C)	RH _{in} (%)	T _{out} (%)	RH _{out} (%)
0	8.70	6.78	28.32	1.00	42.10	50.20	27.90	73.60
1	8.29	6.78	22.27	0.77	39.30	43.90	29.00	65.70
2	7.90	6.78	16.52	0.55	39.60	42.70	29.60	64.70
3	7.70	6.78	13.57	0.44	39.50	41.40	30.10	63.50
4	7.60	6.78	12.09	0.39	39.90	41.20	30.60	62.70
5	7.52	6.78	10.91	0.34	40.00	40.60	31.10	60.70
6	7.47	6.78	10.18	0.31	42.00	42.00	31.40	60.40
7	7.44	6.78	9.73	0.30	41.80	41.80	31.50	60.40
8	7.40	6.78	9.14	0.27	41.70	41.70	31.70	60.40
10	7.32	6.78	7.96	0.23	39.60	39.80	29.70	63.60
12	7.25	6.78	6.93	0.19	40.30	36.70	30.80	57.10
14	7.20	6.78	6.19	0.16	39.60	37.10	31.60	54.70
16	7.18	6.78	5.90	0.15	39.40	35.40	32.50	49.50
18	7.14	6.78	5.31	0.13	39.70	36.70	30.10	58.80
20	7.12	6.78	5.01	0.12	40.80	38.10	30.90	60.40
22	7.10	6.78	4.72	0.11	40.20	33.80	31.60	55.40
24	7.07	6.78	4.28	0.09	40.10	40.00	29.60	66.70
26	7.03	6.78	3.69	0.07	40.20	40.10	29.40	67.70
28	7.02	6.78	3.54	0.06	40.00	39.90	29.70	64.30
30	7.00	6.78	3.24	0.05	41.10	39.80	31.00	62.40
32	6.99	6.78	3.10	0.04	39.40	41.20	28.20	73.00
34	6.96	6.78	2.65	0.03	39.80	39.10	29.00	66.00
36	6.95	6.78	2.51	0.02	39.40	38.80	30.40	60.60

ตาราง ก.5 ผลการทดลองที่สภาวะความเร็วอากาศ 1 m/s อุณหภูมิ 40°C (ต่อ)

time (hr)	m (kg)	m_d (kg)	MC_{db} (%)	MR	T_{in} ($^\circ\text{C}$)	RH_{in} (%)	T_{out} (%)	RH_{out} (%)
38	6.93	6.78	2.21	0.01	41.10	36.90	31.50	56.00
40	6.91	6.78	1.92	0.00	40.10	36.40	32.10	54.80

ตาราง ก.6 ผลการทดลองที่สภาวะความเร็วอากาศ 1 m/s อุณหภูมิ 50 °C

time (hr)	m (kg)	m_d (kg)	MC_{db} (%)	MR	T_{in} (°C)	RH_{in} (%)	T_{out} (%)	RH_{out} (%)
0	8.72	6.54	33.33	1.00	50.40	38.50	27.40	74.30
1	7.79	6.54	19.11	0.56	49.90	27.90	28.50	70.40
2	7.40	6.54	13.15	0.37	49.60	25.70	29.50	67.00
3	7.27	6.54	11.16	0.31	49.50	24.10	30.00	63.60
4	7.22	6.54	10.40	0.29	50.30	21.60	30.80	58.50
5	7.18	6.54	9.79	0.27	49.90	25.30	30.20	67.60
6	7.14	6.54	9.17	0.25	49.90	21.90	29.20	63.00
7	7.11	6.54	8.72	0.23	50.10	24.30	27.60	75.50
8	7.07	6.54	8.10	0.21	49.50	25.80	27.10	80.80
10	6.95	6.54	6.27	0.16	50.00	23.70	28.20	69.90
12	6.89	6.54	5.35	0.13	49.30	25.10	29.00	70.40
14	6.86	6.54	4.89	0.11	50.40	24.20	28.90	70.10
16	6.81	6.54	4.13	0.09	49.60	23.10	28.80	65.70
18	6.77	6.54	3.52	0.07	49.50	22.60	27.50	71.40
20	6.72	6.54	2.75	0.05	50.30	29.60	26.80	77.60
22	6.70	6.54	2.45	0.04	50.40	24.10	26.90	79.50
24	6.69	6.54	2.29	0.03	49.80	23.90	27.00	77.10
26	6.65	6.54	1.68	0.01	50.10	24.50	27.70	75.80
28	6.64	6.54	1.53	0.01	49.80	22.20	29.20	65.00
30	6.62	6.54	1.22	0.00	50.20	24.20	27.70	74.80

ตาราง ก.7 ผลการทดลองที่สภาวะความเร็วอากาศ 1 m/s อุณหภูมิ 60 °C

time (hr)	m (kg)	m_d (kg)	MC_{db} (%)	MR	T_{in} (°C)	RH_{in} (%)	T_{out} (%)	RH_{out} (%)
0	8.73	6.48	34.72	1.00	62.10	25.70	28.50	73.50
1	7.44	6.48	14.81	0.42	59.90	16.50	29.50	65.30
2	7.20	6.48	11.11	0.32	60.00	12.70	30.20	59.00
3	7.11	6.48	9.72	0.28	59.80	12.50	30.90	54.80
4	7.02	6.48	8.33	0.24	59.20	12.20	31.70	52.50
5	6.97	6.48	7.56	0.21	59.90	13.30	32.50	55.10
6	6.92	6.48	6.79	0.19	61.30	13.10	32.40	56.20
7	6.89	6.48	6.33	0.18	60.00	13.80	32.40	57.20
8	6.85	6.48	5.71	0.16	59.40	14.60	31.20	62.50
10	6.76	6.48	4.32	0.12	59.90	13.40	29.20	66.90
12	6.67	6.48	2.93	0.08	59.90	13.10	30.30	62.10
14	6.64	6.48	2.47	0.07	60.00	12.40	29.80	61.80
16	6.59	6.48	1.70	0.04	59.20	12.80	29.60	62.90
18	6.56	6.48	1.23	0.03	59.40	14.70	28.60	72.60
20	6.52	6.48	0.62	0.01	59.10	13.70	29.70	65.70
22	6.49	6.48	0.15	0.00	59.90	13.00	30.20	64.20

ตาราง ก.8 ผลการทดลองที่สภาวะความเร็วอากาศ 1 m/s อุณหภูมิ 70 °C

time (hr)	m (kg)	m_d (kg)	MC_{db} (%)	MR	T_{in} (°C)	RH_{in} (%)	T_{out} (%)	RH_{out} (%)
0	8.36	6.23	34.19	1.00	68.80	9.10	29.50	70.50
1	6.89	6.23	10.59	0.30	68.80	8.90	31.00	62.80
2	6.72	6.23	7.87	0.22	69.80	8.80	31.40	63.40
3	6.65	6.23	6.74	0.19	69.10	8.70	32.10	62.20
4	6.58	6.23	5.62	0.16	69.40	8.50	31.60	62.60
5	6.53	6.23	4.82	0.13	68.80	9.30	31.80	64.10
6	6.48	6.23	4.01	0.11	68.60	8.70	32.30	59.30
7	6.44	6.23	3.37	0.09	69.20	7.90	32.70	56.30
8	6.41	6.23	2.89	0.08	69.40	8.10	32.40	58.60
10	6.32	6.23	1.44	0.03	68.50	8.90	29.60	70.40
12	6.27	6.23	0.64	0.01	68.10	9.40	29.00	72.80
14	6.25	6.23	0.32	0.00	69.00	8.60	30.20	69.00

ภาคผนวก ข
ค่าคงที่แบบจำลองอนแท้ชั้นบาง

ตาราง ๔.๑ ค่าคงที่แบบจำลองของแบบพัฒนาทางที่ต่ำกว่าความเร็วอากาศ ๐.๕ ม/ส ณ หมก ๔๐ °C

Equation	R^2	Adjusted R^2	SSE	RMSE	a	b	c	n	k	g	h
Newton	0.954	0.954	0.08559	0.0563	-	-	-	-	0.1491	-	-
Page	0.9907	0.9903	0.01733	0.02582	-	-	-	-	0.7055	0.2645	-
Henderson and Pabis	0.9632	0.9618	0.06847	0.05132	0.9028	-	-	-	0.1283	-	-
Logarithmic	0.9789	0.9772	0.0393	0.03965	0.8984	0.05557	-	-	0.1662	-	-
Weibull Distribution	0.9913	0.9902	0.0162	0.02598	0.008133	-1.02	-	-	0.7021	0.2798	-
Midilli et al.	0.9912	0.9901	0.01634	0.02609	1.029	-1.9E-05	-	-	0.6854	0.2837	-
Verma et al.	0.9966	0.9963	0.006381	0.01598	0.5415	-	-	-	0.3605	0.06591	-
Two term exponential	0.9804	0.9797	0.03644	0.03744	0.2592	-	-	-	0.4241	-	-
Modified Henderson and Pabis	0.9968	0.9961	0.005914	0.0164	0.7536	6.931	-6.659	-	0.3009	0.08489	0.08811
Wang and Singh	0.6512	0.6378	0.6491	0.158	-0.06945	0.0011128	-	-	-	-	-

ตาราง ๑.๒ ค่าคงที่แบบจำลองแบบพหุพารามิเตอร์สกาวและความเร็วของอากาศ ๐.๕ ม/ส ณ หมู่บ้าน ๕๐ °C

Equation	R ²	Adjusted R ²	SSE	RMSE	a	b	c	n	k	g	h
Newton	0.8794	0.8794	0.1493	0.08239	-	-	-	-	0.2502	-	-
Page	0.984	0.9832	0.01981	0.03071	-	-	-	0.5462	0.498	-	-
Henderson and Pabis	0.9038	0.8993	0.1191	0.07531	0.8433	-	-	-	0.1934	-	-
Logarithmic	0.9449	0.9393	0.06829	0.05843	0.8496	0.07586	-	-	0.2958	-	-
Weibull Distribution	0.9842	0.9817	0.01957	0.03209	-0.01279	-1.023	-	0.5242	0.5056	-	-
Midilli et al.	0.9845	0.9821	0.01915	0.03175	1.011	-0.0005	-	0.5176	0.5188	-	-
Verma et al.	0.994	0.9934	0.007469	0.01933	0.5996	-	-	-	0.7765	0.07717	-
Two term exponential	0.9254	0.9219	0.09237	0.06632	0.2489	-	-	-	0.744	-	-
Modified Henderson and Pabis	0.9956	0.9943	0.005422	0.01786	6.621	-6.176	0.5659	-	0.4471	0.4123	0.09398
Wang and Singh	0.2841	0.25	0.8867	0.2055	-0.0937	0.002005	-	-	-	-	-

ตาราง ๔.๓ ค่าคงที่แบบจำลองของแบบพัฒนาทางที่สกาวะความเร็วของอากาศ ๐.๕ ม/ส ณ หมู่บ้าน ๖๐ °C

Equation	R^2	Adjusted R^2	SSE	RMSE	a	b	c	n	k	g	h
Newton	0.8515	0.8515	0.1449	0.09233	-	-	-	-	0.3397	-	-
Page	0.9903	0.9897	0.009501	0.02437	-	-	-	0.4894	0.66667	-	-
Henderson and Pabis	0.8855	0.8784	0.1117	0.08355	0.8255	-	-	-	0.2565	-	-
Logarithmic	0.9238	0.9136	0.07436	0.07041	0.8323	0.08052	-	-	0.4183	-	-
Weibull Distribution	0.9957	0.9948	0.004196	0.01731	-0.2189	-1.22	-	0.3461	0.5522	-	-
Midilli et al.	0.9961	0.9953	0.003758	0.01638	1.001	-0.003	-	0.3916	0.7176	-	-
Verma et al.	0.9972	0.9968	0.002764	0.01357	0.5739	-	-	-	1.493	0.1123	-
Two term exponential	0.9073	0.9015	0.09045	0.07519	0.2398	-	-	-	1.071	-	-
Modified Henderson and Pabis	0.9975	0.9964	0.00247	0.01435	1.457	0.5882	-1.047	-	0.1298	1.411	0.1403
Wang and Singh	0.2795	0.2345	0.7031	0.2096	-0.1307	0.003859	-	-	-	-	-

ตาราง ๔ ค่าคงที่แบบจำลองของแบบห้องน้ำที่ถูกวัดความเร็วอากาศ ๐.๕ ม/ส ณ ห้อง ๗๐ °C

Equation	R^2	Adjusted R^2	SSE	RMSE	a	b	c	n	k	g	h
Newton	0.858	0.858	0.1177	0.09517	-	-	-	-	0.5392	-	-
Page	0.9923	0.9917	0.006372	0.02304	-	-	-	0.4303	0.9283	-	-
Henderson and Pabis	0.875	0.8646	0.1036	0.09291	0.8754	-	-	-	0.4419	-	-
Logarithmic	0.9314	0.9189	0.05688	0.07191	0.8727	0.09184	-	-	0.8156	-	-
Weibull Distribution	0.9995	0.9993	0.000416	0.006451	-1.135	-2.133	-	0.203	0.3518	-	-
Midilli et al.	0.9993	0.9991	0.000566	0.00752	0.9999	-0.00565	-	0.2979	0.9879	-	-
Verma et al.	0.999	0.9988	0.000851	0.008793	0.5892	-	-	-	3.769	0.1707	-
Two term exponential	0.9062	0.8984	0.07776	0.0805	0.2527	-	-	-	1.586	-	-
Modified Henderson and Pabis	0.999	0.9983	0.000861	0.01037	0.1225	0.409	0.468	-	2.111	0.1701	28.63
Wang and Singh	0.3163	0.2593	0.5667	0.2173	-0.1895	0.008035	-	-	-	-	-

ตาราง ๔.๕ ค่าคงที่แบบจำลองของแบบพื้นฐานบางที่ต่อกลางความเร็วอากาศ 1 m/s ณ หจุน 40 °C

Equation	R ²	Adjusted R ²	SSE	RMSE	a	b	c	n	k	g	h
Newton	0.9123	0.9123	0.1279	0.073	-	-	-	-	-	0.1884	-
Page	0.99	0.9895	0.01464	0.02523	-	-	-	-	0.6094	0.3743	-
Henderson and Pabis	0.935	0.9322	0.09477	0.06419	0.8516	-	-	-	-	0.1476	-
Logarithmic	0.9628	0.9594	0.05431	0.04969	0.8526	0.06929	-	-	-	0.2119	-
Weibull Distribution	0.9961	0.9956	0.005661	0.01642	1.005	1.2	-	-	-0.5473	1.48	-
Midilli et al.	0.9904	0.989	0.01403	0.02584	1.016	-0.00036	-	-	0.5819	0.3944	-
Verma et al.	0.9967	0.9964	0.004861	0.01486	0.4574	-	-	-	0.0721	0.5838	-
Two term exponential	0.9533	0.9512	0.06819	0.05445	0.2442	-	-	-	0.5723	-	-
Modified Henderson and Pabis	0.9971	0.9964	0.004181	0.01483	2.202	108.1	-109.3	-	0.1272	0.2457	0.2427
Wang and Singh	0.4887	0.4664	0.7459	0.1801	-0.08117	0.001535	-	-	-	-	-

ตาราง บ.6 ค่าคงที่แบบสำาตองของแบบห้างชั้นนำที่ถูกวัดความเร็วอากาศ 1 m/s ณ หมู่บ้าน 50 °C

Equation	R^2	Adjusted R^2	SSE	RMSE	a	b	c	n	k	g	h
Newton	0.8519	0.8519	0.1567	0.09082	-	-	-	-	0.3032	-	-
Page	0.9888	0.9882	0.01187	0.02568	-	-	-	0.5013	0.6127	-	-
Henderson and Pabis	0.8897	0.8836	0.1167	0.08052	0.8135	-	-	-	0.223	-	-
Logarithmic	0.9223	0.9131	0.08223	0.06955	0.821	0.0723	-	-	0.3443	-	-
Weibull Distribution	0.9938	0.9926	0.006602	0.02031	-0.1632	-1.165	-	0.3758	0.5443	-	-
Midilli et al.	0.9942	0.9931	0.006158	0.01962	1.002	-0.00233	-	0.4133	0.661	-	-
Verma et al.	0.9967	0.9963	0.003467	0.01428	0.5646	-	-	-	1.331	0.1016	-
Two term exponential	0.9079	0.9028	0.09745	0.07358	0.2368	-	-	-	0.9672	-	-
Modified Henderson and Pabis	0.9992	0.9989	0.000854	0.007811	4.587	0.6526	-4.239	-	0.6628	0.1304	0.5749
Wang and Singh	0.2482	0.2064	0.7955	0.2102	-0.1137	0.00292	-	-	-	-	-

ตาราง ภ.7 ค่าคงที่แบบทำทดลองของแบบหัวใจที่ต่างๆ นาบรวมรีวอากาศ 1 m/s ณ หนึ่ง 60 °C

Equation	R ²	Adjusted R ²	SSE	RMSE	a	b	c	n	k	g	h
Newton	0.8335	0.8335	0.1465	0.09882	-	-	-	-	0.4207	-	-
Page	0.9904	0.9897	0.008431	0.02454	-	-	-	0.4444	0.8019	-	-
Henderson and Pabis	0.8651	0.8555	0.1187	0.09207	0.8316	-	-	-	0.3192	-	-
Logarithmic	0.9155	0.9025	0.07436	0.07563	0.8449	0.09197	-	-	0.595	-	-
Weibull Distribution	0.9992	0.999	0.000694	0.007602	-1.117	-2.117	-	0.2193	0.3257	-	-
Midilli et al.	0.9993	0.9991	0.000641	0.007308	1	-0.00491	-	0.3124	0.8687	-	-
Verma et al.	0.998	0.9977	0.001737	0.01156	0.5797	-	-	-	2.425	0.134	-
Two term exponential	0.8912	0.8834	0.09577	0.08271	0.242	-	-	-	1.309	-	-
Modified Henderson and Pabis	0.9972	0.9958	0.002461	0.01569	7.03	0.8642	-6.906	-	0.2361	1.201	0.2538
Wang and Singh	0.2532	0.1998	0.6571	0.2166	-0.1551	0.005406	-	-	-	-	-

ตาราง บ.8 ค่าคงที่แบบสำหรับการทดสอบแบบที่สองที่สภาวะความเร็วในการ流速 1m/s ดูดหูนิ 70 °C

Equation	R ²	Adjusted R ²	SSE	RMSE	a	b	c	n	k	g	h
Newton	0.8945	0.8945	0.08399	0.08738	-	-	-	-	0.7802	-	-
Page	0.9934	0.9928	0.005237	0.02288	-	-	-	-	0.4066	1.132	-
Henderson and Pabis	0.8984	0.8882	0.08089	0.08994	0.9403	-	-	-	0.7131	-	-
Logarithmic	0.9554	0.9455	0.03553	0.06283	0.9038	0.08429	-	-	1.173	-	-
Weibull Distribution	0.9993	0.9991	0.000526	0.008108	-5.113	-6.108	-	-	0.149	0.1204	-
Midilli et al.	0.9995	0.9992	0.000435	0.007376	1	-0.00776	-	-	0.252	1.185	-
Verma et al.	0.9981	0.9977	0.001477	0.01281	0.6503	-	-	-	3.781	0.206	-
Two term exponential	0.9259	0.9185	0.05899	0.07681	0.2827	-	-	-	1.972	-	-
Modified Henderson and Pabis	0.9981	0.9964	0.001548	0.01606	3.611	0.7775	-3.393	-	0.2943	2.032	0.3161
Wang and Singh	0.3682	0.305	0.5029	0.2243	-0.2391	0.01284	-	-	-	-	-